

Cr_2O_3

Cr₂O₃

Bp - 2319-III 1908

Mixer A. S.

(4HF)

"Am. J. Sci"
1908, 26, 125-37.

Cr_2O_3 BP-7061-IV 1912

Russel A.S.

(6) Physik Z., 1912, 13,
3. 59-64 [12 RUS]

Cr_2O_3 (c_p)

Bd 7061-IV

1912

[CP (8c)]

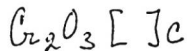
Russch A. S.

7

Z. Phys. 1912, 13, S. 59.-64

см. на обороте

Указана на картинке ф-м 14 веществ (только оксиды)



Cu O	Th O_2
Pb O	Pb O_2
Mg O	Mn O_2
Hg O	U_3O_8
Fe_2O_3	W O_3
As_4O_6	Al_2O_3
Sc_2O_3	
Ca O_2	



Cr_2O_3
4976

Honda K., Sone T., 1914

Scanned by

Sci. Repts. Tohoku
~~Univ.~~ Univ., 1914, 3, p 139

7

m.g. Cr_2O_3 (K)

8

Список исправлений №24

1. Митряев, Евгений Васильевич и др. Контроль... Карт. №38644 [79-75775] — Исправить во 2-м добавочном описании фамилию автора на: Рышков
2. Зубарев, Владимир Геннадиевич, Пешалов, Юрий Александрович. Прогнозирование... Карт. №26393 [79-49597] — Исправить в заголовке описания отчество 1-го автора на: Геннадьевич
3. Винокур, Бертольд Бенцианович, Пилюшенко, Виталий Лаврентьевич. Хладостойкость... Карт. №28089 [79-52539] — Исправить в заголовке описания отчество 1-го автора на: Бенционович
4. Васильева, Татьяна Козминична, Кругляк, Сергей Леонтьевич. Очистка... Карт. №32863 [79-59491] — Исправить в заголовке описания отчество 1-го автора на: Козьминична
5. Вопросы интенсификации с.-х. производства. Карт. №32160 [79-60071] — Исправить во 2-м добавочном описании имя редактора на: Викторина

Вс.кн.пал. 09.04.80

Cr_2O_3

Ruff O.,

1913

$T_m =$

$= 1960^\circ\text{C}$

Z. anorg. Chem.
1913, 82, p. 373 - 400 cpr.

(но Шнейдеру)

Песч - сопротивляемый, нагревательный элемент -
— гранитолеу Трубка,

оптический излучатель

- a) 1830 - 2080°C (1849 - 2107 кс Int 1948г)
- b) 1960 (1983)

В опытах происходило
восстановление образцов Cr₂O₃
гранитом.

$\text{Cr}_2\text{O}_3(\text{sp})$

1914

Honda K., Sone T.

Sci. Reps Tohoku Univ.

1914, 2, p. 139.

Cr_2O_3

Kanolt C. W.

1914

Bureau Standard

Bull. BS 10, 295-313 (1914);

also, J. Wash. Acad. Sci., 3,

315-318 (1913);

$$\underline{T_m = 1990^\circ\text{C}}$$

also, Z. Anorg. Chem.,
85, 1-19 (1914)

(T_m)

[37]

Cr_2O_3

Kanolt C.W.,

1914

$T_m =$ ~~Ber. Std. Bull.~~,

$= 1983^\circ\text{C}$ ~~1914, 10, E27, 295~~

Z. anorg. Chem.,
1914, 85, 1-19

Cr_2O_3 , примеси Fe 0,01%

хромат - медн.

суммарно 0,005%

Кривые нагревания,

б вакууме,

$T_m = 1990^\circ\text{C}$ (переход к максимуму
1948, дают 2011°C)

(возможно было восстановление



Cr_2O_3)

VII 1249.

1915

CrO_3 , Cr_2O_3 (δHf)

Mizster W.G.,

16. Am. J. Sci., 1915, 39, 295.

size. 500

III.

new δ -ke

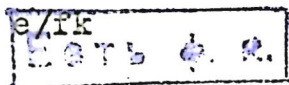
VII 3016

1926

ZrO₂ (ΔH_f), Cr₂O₃, CrO₃

Roth W.A., Becker G.

Z. anorgan. und allgem. Chem.,
1926, 153, № 1, 461-469



М

Cr_2O_3 1927
4657 v. Wartenberg H., Aoyama S.

T. Wartenberg
Z. Elektrochem.,
1927, 33, 144.
=

65

T.X. $\text{Cr}_2\text{O}_3(\text{K}, \alpha)$

Cr_2O_3
4061

1929

Roth W.A., Becker G.

Tausend

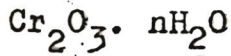
Z. phys. Chem. A, Leipzig

1929, 145, 461.

25

T.X. $\text{Cr}_2\text{O}_3(\bar{k}, \bar{\lambda})$

VII 649 1929



Simon^{A.}, Fischer^{O.}, Schmidt, Th.,

1. Z. anorg. Chem. 185, 107 (1929)
143

Circ. 500

B, B

E C T B φ. R.

Cr_2O_3

(T_m)

[55]

BGP-470-VII
BGP-470-
BGP-470-

Bunting Z. N.

1930

BS Z. Research, 5, 325-4.

$$T_m = 2140 \pm 25^\circ\text{C} \left(\begin{array}{l} \text{nepercr} \\ 2133 \pm 25 \end{array} \right)$$

(99,9% Cr_2O_3 , outur. nepercr,
lozdyx)

Cr_2O_3

Bunting Z.N.

[1931]

(T_m) f. Research. NBS, E, 947-9

[32] $T_m = 2275 \pm 25^\circ\text{C}$

(repeat 2266 $\pm 25^\circ\text{C}$)

(C.p. grade, 6032yx)

[VII]
B99-9276-18

Tm(2TiO₂·MgO, 2MgO·TiO₂,
Cr₂O₃)

VII 833 1932

v.Wartenberg H., Prophet E.

Z.anorg. allgem.Chem. 1932, 208, 369-79.

"Melting-point diagrams of highly
refractory oxides. Systems with magnesia".

Be,

CA., 1933, 655

Hem & S-ke

Cr_2O_3 (cp)

B40-838-WJ

(Herr vB ? 82gsm

1932

Wartenborg H., Prophet E

Z.-Anorg. und allg. Chem.

1932, 208, s. 369.

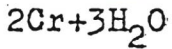
Cr_2O_3 Wartenberg H., Reusch H. | 1932

(T_m) ^{b6} Z. Anorg. Allgemeine Chemie, 207,
1-20. (reported)

[56] $T_m = 2275 \pm 25^\circ\text{C}$ (2266 ± 25)
(axamur. zweist., 6030yx)

$\text{Cr}, \underline{\text{Cr}_2\text{O}_3} (\Delta F_{298}, \Delta H_{298})$

VII 747 1934



Aoyama S., Kanda E.

J. Chem. Soc. Japan 1934, 55, 1174-84

"Oxidation-reduction equilibrium of
metallic chromium".

M°

CA., 1935, 985⁵

Kem β-δ-xe

V 750

1935

$\text{Ca}(\text{OH})_2$, $\text{Zn}(\text{OH})_2$, $\text{ZnO} \cdot n\text{H}_2\text{O}$, $\text{Al}_2\text{O}_3 \cdot n\text{H}_2\text{O}$,
 $\text{Al}_2\text{O}_3 \cdot 3\text{H}_2\text{O}$, Al_2O_3 , $\text{Cr}_2\text{O}_3 \cdot n\text{H}_2\text{O}$, Cr_2O_3 ,
 SnO_2 , $\text{SnO}_2 \cdot n\text{H}_2\text{O}$, H_2TiO_3 (cp, Ttr)

Лащенко П.Н., Компанский Д.И.
ЖПХ, 1935, 8, 628-53

Be

Foto

$\text{Li}_2\text{O}_3(\text{C}_p)$

V750

1935

Лашенко П.Н, Компактный D.И.

Журн. хим. 1935, 8, с. 628.

VII

2227 1937

[37 AND]?

Cr₂O₃ (Cp, S_{298,1}, Ttr)

Cr, CrCl₃, CrCl₂ (Cp, S_{298,1})

Cr, (ΔH_f).

Anderson C.T.

J. Am. Chem. Soc., 1937, 59, 488-91

"The heat capacity of chromium chromic oxide, chromons chloride and chromic chloride at low temperatures".

Be

CA.

1937, 3775⁸

ЕСТЬ в. н.

Cr_2O_3

Wartenberg H.

1937

Eckhardt K.

(T_m)

Z. Anorg. Allgem. Chem., 232,
179-187

[57] $T_m = 2435 \pm 10^\circ\text{C}$

(neprecet $2424 \pm 10^\circ\text{C}$)

(*bosverus boettanobium dispersa*)

Cr_2O_3 (cp)

1937

T_m : Wartenberg H., Eckhardt K.

Z. anorg. und. allg. Chem.

1937, 232 S, 179

$\text{Cr}_2\text{O}_3 (\text{cp})$

VII-2227

1937

Anderson C.T.

J. Am. Chem. Soc. 1937, 59, p. 488.

"The heat capacity of chromium
chromium oxide, chromous chloride
and chromic chloride at low temper

BP-VII 409

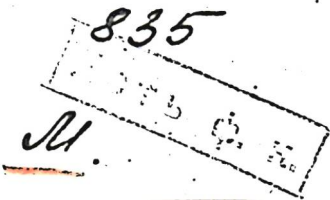
1939

Cr_2O_3 (s Hf)

grube G. ~~and~~^{vor}, Flad, M.

J. Z. Elektrochem., 1939, 45,

cize. 500



Cr_2O_3

Roth W.A., Wolff H.

11840

Z. Elektrochem. 1940, 46, 45

B9P - 2370 - VII

Tensile strength of various
Oxides and $\text{Al}_2\text{O}_3 = 268,3 \pm 0,6$

kg/mm² at 21° , $P = \text{const.}$

Circular bars 2 mm diameter, 0.5 mm
thick

Value $\text{Al}_2\text{O}_3 = 137,1 \pm 0,4$ kg/mm²

Rock kg/mm^2 at $P = \text{const.}$

C.A. 1840 - 18052

89-VII 892

1942

Cr_2O_3 (s Hf)

Гибке Г. ^{вон} и Флад. М.,

2. Z. Elektrochem., 1942, 48, №,
377-387

size. 500

M.

ЕСТЬ Ф. К.

VII 1908

1942

Cr, CrO, Cr_2O_3 , CrCl_2 , CrCl_3 , CrCl_4 ,
 CrN , Cr_2N , Cr_3G , Cr_4C , Cr_5C_2 , Cr_xC
(C_p , S, $\text{H}_2\text{-H}^\circ$, ΔH_m , ΔF)

Maier C.G.

U.S. Bur. Mines Bull. 436, 1942, 109 pp



Б, М

леси ср.к.

Cr_2O_3 Okada S., Kokubu S., 1943
3710 Matsuoka K.

Томберг

J. Soc. Chem. Ind. Japan,
1943, 46, 324.
p.

135

T.X. Cr_2O_3 ($K_2\text{O}$)

Cr_2O_3 Wilde W.T., Rees W.J. 1923

(T_m) Trans. Brit. Ceram. Soc., 42,
123-155 (1943)

[54] $T_m = 2060 \pm 25^\circ\text{C}$
(reproducere $2053 \pm 25^\circ\text{C}$)

VII 2090 1944

Cr_7C_3 , Cr_2O_3 ,

Cr_3C_2 , Cr_4C ($\Delta \text{Hf}, \text{Cp}, \text{S}$)

[44 KEL/BOE]

Kelley, Boerickel, Moore, G.E.,
Huffman, Bangert, W.M.,
E.H.

1. U.S. Bur. Mines Tech. Paper 662, {1944}, 1-43

Circ. 500

M

ccr b q.k.

Cr_2O_3 Kelley K.K., Boericker F.S., 1944
2962 Moore G.E., Huffman E.H.,
Bangert W.M.

Taupep2

U.S. Bur. Mines

Techn. Paper 662, 1944 -

(Ori. VII-2090)

255

T.X. Cr_2O_3 (K, L)

$\text{Li}_2\text{O}_3 (\text{cp})$

1996.

Trombe F., Foëx M., La Blanchetais
C.H.

C.R. Acad. Sci. 1996, 223, p. 317

VII 2420
P (~~Lanthanum~~) Cr₂O₃; MnO₂ 1946
WO₂, TiO₂.

Lustman B.

Steel Processing 1946, 32, 669,
676

"Dissociation pressures of
metal oxides formed on various solid
metals"

E	b. R.
---	-------

C.A., 1947, 332h

ex

ex

Cr₂O₃ Tzombe F., Foëx M. 1946
454/93 La Blanchemaire C.H.
C. R. Acad. Sci. Paris,
1946, 223, 317

W

20

m.c.p. Cr₂O₃(K, 20)

$\text{Cr}_2\text{O}_3 (\text{cp})$

1992

Trombe F., Foëx M, La Blanchetais
C.H.

Ann. chim. 1992, 2, p. 385

Cr_2O_3
1893
1896

Chen H.H., Chipman J.

1944

Trans. Metallurg. Soc. AIME,

Томберг

1947, 38, 70.

148

T.X. $\text{Cr}_2\text{O}_3 (\kappa, \alpha)$

VII 2369

1947

6

Cr, Cr₂O₃ (T_{tr})

TTR(2p) Jaffray J.,

J.recherches centr.natl.recherche
sci.(Paris) 1947, 153-63

"The investigation of higher-
order transformation by thermal
analysis"

Б

CA., 1948, 5326h

Keur & Söke

Cr_2O_3 Trombe F., Foëx M., 1944
4550 La Blanchetais C.H.
Ann. chim., 1947, 2, 385
imp. b. p.

W

31 m.g. Cr_2O_3 (K. 20)

VII 2369

1947

Cr, Cr₂O₃ (T_{tr})

Jaffray J.,

J. recherches centr. natl. recherche
sci. (Paris) 1947, 153-63

"The investigation of higher-
order transformation by thermal
analysis"

Oko 1948, 5326h

5

new 6 δ-ke

C_z₂O₃ (T_{tz}, C_p) VII 2496

1948

Jaffray J., Viloteau J.

Coupt. rend. 1948, 226, ^{n° 18} 1701-2

"The thermal and dilatometric
analysis of chromic oxide."

err 8 p.k.

5

C.A., 1948, 6632 h

$\text{Cr}_2\text{O}_3(\text{p}_\nu)$

VII-2496

1948

T_{tr}

Jeffray J., Vilotteau J.

C. R. Acad. Sci. 1948, 226, p. 1701

$\text{Cr}(\text{CP})$ 8h VI-670 Grayson-Smith 1950
 $\text{Mn}(\text{CP})$ Armstrong L. D., ~~Grayson~~ Smith H.
 $\text{Co}(\text{CP})$ Can. J. Research 1950, 28A, p. 57-59.
Grayson-Smith H.

4

VII 1443.

1950

O₂O₃ (DHg)

Gel'd P.V., 8sin O.t.

Zhur. Priklad. Khim., 1950, 23,

1260-1270.

c.a., 1951, 1248c

St.

Cr_2O_3 | Trounson E.P., Bleile Q.F., 1950
5063 | Wangness R.K., Maxwell L.R.

Wangness

Phys. Rev., 1950, 79, p. 542.

I. m.g. $\text{Cr}_2\text{O}_3(\text{K})$ ●

8

Красных, В Н и др.

Сравнение свойств отечественных и зарубежных прецизионных магнитно-мягких сплавов / В. Н. Красных, О. Н. Альтгаузен, Г. И. Николаева. — М. : ин-т «Черметинформация», 1980. — 76 с.; 20 см. — (Чер. металлургия. Обзор. информ. / ЦНИИ информ. техн.-экон. исслед. чер. металлургии).

На обл. авт. не указаны.

Библиогр.: с. 74—75 (31 назв.).

30 к. 410 экз.

I. Загл. II. Альтгаузен, О Г И — — I. Магнитные сплавы, прецизионные — III. Николаева, III. Николаева,
Обзоры литературы информационные.

№17303 26.5

669.018.58 (048.8)

31 №109 [80-29506] п оп
Вс.кн.пал. 19.05.80 К783

[BOP-VII 1640]

1952

Cr_2O_3 (T_{cr})

Ghosh J.C., Bhattacharyya S.K.,
Gopalaswamy S.N., Ramachandran
V.S.

J. Sci. Ind. Research. (India),

1952, 11B, 547-549

C.A., 1953, 78806

106

$\text{Cr}_2\text{O}_3(\text{C}_6)$ Bob-1632-VII 1952
Volgor J.
Nature, 1952, 170, p. 1022

Cu_2O_3

Bsp - 1632-VII

1952

Volger f.

(Cp)

"Nature"

1952, 170, 1027 —

$Kc(W, Cr, V, Cr_2O_3, V_2O_3,$
 $W_2O_3)$

~~Горы, Сакаи.~~

VII 1047 1953

Gomi, Sakai S.,

~~Езу-то-хагансю~~, J. Iron and Steel Inst. Japan,
1953, 39, N6, 595-601.

Доклады об опытах по извлечению вольфрама,
хрома и ванадия из отходов быстрорежущей
стали в электрических печах.

RX., 1955, N11, 22074. M, Ja

ЕССФ.К.

V 1925

1953

Cr₂O₃, MnO, MnS, MnTe, CoO, NiO, CuO, VO₂ (T_{tr})

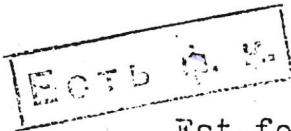
Maxwell L.R., McGuire T.R.

Revs. Mod. Phys., 1953, 25, N 1, 279-84

Antiferromagnetic resonance.

PJX., 1954, N 7, 21344

Be.



Est. fotok.

Cr₂O₃(Tm) Ашмарин Г.И., Узенов В.К. ^{L 1953}

Cr = Cr₂O₃

CrO

ДАН, 1953, 91, № 3, 561-569

Система Cr - Cr₂O₃

Неорганика

t°нр. хрома 1900 °C

t°нр Cr₂O₃ 2400 °C

железика 1660 °C

Твердых субокислов храна
не обнаружено

РМХ, 1954, 14259

VII 2636

1953

Cr, Cr₂O₃ (Tm)

(TM, 2P) Ольшанский Я.И., Шленов В.К.

Докл. АН СССР, 1953, 9, №3, 56-64.

13

Система

Cr-Cr₂O₃

RX, 1954, №3, 14259 Be

Ge_2O_3

Pogg M. B.

1953

№п. 4-20 совещания по термо-
градии. Рязань 1953. 14-15.
Изг.-го № ССер 1955 154-170.

Применение термогра-
дии для исследования
влияния различных факторов
на процесс кристал-
лизации окиси хрома.

x-57-1-369.

Ma

1954

Cr₂O₃.

VII

Mah H. D.

J. Am. Chem. Soc., 1954, 76, 3363-65

Пирамиды сорбируя Cr и Cd

B97-3006-1

[менюкиса опознано
A. Foo.]

X-55-7-11278



Cr_2O_3

$\Delta H_{298,16}$

$-272,7 \pm 0,4$

$\Delta Z_{298,16}$

$-253,2 \pm 0,5$

VII 2483 1954

Cr_2O_3 (ΔH_f , K_p),

$\text{FeO}\text{Cr}_2\text{O}_3$ (ΔH_f)

Turkdogan E.T.,

J.Iron and Steel Inst.

1954, 178, N3, 278-83.

Chromium-oxygen equilibrium in
Liquid iron.

RM., 1956, 89

M

err6 cp.K

VI 6871

1955

Cr₂O₃, NiCr, NiMo, NiW, CoMo, Colr, FeCr "gp."
NiF₂, NiSi, NiCu "gp." (Te, Hwang., Swag.)^{HT}

Tauer K. J., Weiss R. J.,

Phys. Rev., 1955, 100, n⁴, 1223 - 1224

Б



если q.k

B9P - 3127 - VII

1556

Gr₂O₃

Ramsey Y.N., Coplan D., Bunn A.A.,
J. Electrochem. Soc., 1956, 103, 135

Технология окиси
Хрома

Использование хрома
с алмазной пастой H₂+H₂S. Окисление
сульфидов переносится Gr₂O₃ в газах
588-1154°. Но для плавки хрома
необходимо

AfL

Al₂, AF₂

X-57-7-
-22253

Ch. Obsh., 1956, 6895a6

Cr_2O_3

BGP-1817-VII

1956.

Mc Quire T.R; et al.

"Phys. Rev"

1956, 102 n4, 1000-1003



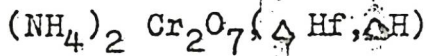
$C_2O_3(p)$

Bd-1817-111

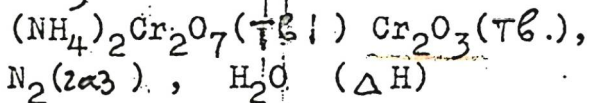
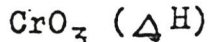
1956

McGuire T.R., Scott E.Y., Grannis F.A.

Phys. Rev. 1956, 102/p 1000



VII 2117 1957



Neugebauer A., Margrave J.

J. Phys. Chem., 1957, 61, N10, 1429.

The heat of formation of ammonium dichromate.

RX., 1958, 24124

M

ECTB Q. H.

Cr₂O₃ (T_m, обзор)

1952

Гельд Н. В., Есип О. А. Продесси
высокотемпературного восстановления

cm. 28

T_m = 2110°C (Болр 2437 ± 10°C)

металлургия, слесарев,
1957г.

Cr₂O₃
47293

Есин О. А., Захаров ¹⁹⁵⁹ Н. Н.

Узб. борн. учен. заб. №.
Черн.,
~~Чархон~~ Меморандум,

1959, № 10, с. 9.

32

Cr₂O₃ (и, ит.) т.д.

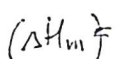
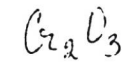
$\text{Cu}_2\text{O}_3(\text{cp})$

1959

Есун О.А., Захаров Г.Н.

Узб. биохол. Черн. мес. 1959, №10, с. 9.

1959



= 125,5

Kdriftura 1959, N° 10, c. 9 - ...

ЕСИИ С.А., Заказчик У.Н.,

Узб. языке, исполн.,

[При ΔH_m° no доказанье наименование
 $\text{CaO} \cdot \text{Cr}_2\text{O}_3$]

$\text{Fe}_2\text{O}_3(\text{cp})$

1960

Kelley K.K. Contribution to the
data on theoretical metallurgy.

xiii High temperature heat content,
heat capacity and entropy data for
the elements and inorganic compounds

Bull. Bur. Mines (U.S.A.) 1960, N584.

Crx₂O₃

B9 - 1868 - VII

1960

Muan et.

Somiya S.

"J. Amer. Ceram. Soc"

(Tm)

1960, 43, N4, 204-209

ВР-1639-VII

1960

Cr_2O_3

БД10. Сублимация Cr_2O_3 при высоких температурах.
Wang Ke-chin, Dreger Lloyd H., Dadape V. V., Margrave John L. Sublimation of Cr_2O_3 at high temperatures. «J. Amer. Ceram. Soc.», 1960, 43, № 10, 509—510 (англ.).—В интервале т-р от ~ 1800 до 2500°K исследован процесс сублимации Cr_2O_3 . При исследовании использовался как лэнгмюровский метод свободного испарения в различных условиях (вакуум, атмосфера, O_2 и CO), так и определение потерь веса образцов Cr_2O_3 в потоке различных газов при высоких т-рах. Т-ра в этих экспериментах поддерживалась в пределах $\pm 5^\circ$, точность определения изменения веса образ-

см.н/о/б

93.1944.5

цов составляла ± 5 мг для навесок в 5 г. Экспериментально установлено, что температурная зависимость давления паров Cr_2O_3 передается выражением:

$$\log P_{\text{атм}} = 7,74 - \frac{25,300}{T},$$

откуда т-ра кипения при норм. условиях оценивается в $3280 \pm 100^{\circ}\text{K}$. Скорость сублимации больше той, которую следовало бы ожидать теоретически, если бы сублимация определялась только процессом разложения на элементы. Следовательно, заметную роль в сублимации играют процессы, в которых участвуют окислы Cr.

Н. Черноплеков

B9 - 1639-VII

(1960)

Cr_2O_3
 CrO
 CrO_2

Sublimation of Cr_2O_3 at high temperatures. Ke-Chin Wang, Lloyd H. Dreger, V. V. Dadape, and John L. Margrave (Univ. of Wisconsin, Madison). *J. Am. Ceram. Soc.* 43, 509-10(1960).—Vacuum sublimation of Cr_2O_3 , using induction or solar heating, produced condensates of Cr_2O_3 with no new phases indicated by x-ray powder studies. Wt.-loss expts. indicated a rate of sublimation slightly higher than predicted for decompr. to the elements; this suggests that small amts. of complex mols. such as CrO or CrO_2 also were present in the equil. vapor. J. C. Tallman

Hydrowaxing

c.a.1961.1.55.2.11166

Cr₂O₃

дд4811 Оп. 24099

1961

P

10Б286. Испарение окиси хрома. Caplan D., Cohen M. The volatilization of chromium oxide. «J. Electrochem. Soc.», 1961, 108, № 5, 438—442 (англ.).—Испарение окиси хрома из хромовых сплавов, окисляемых при т-рах 1000—1200°, изучалось по потере в весе образцов Cr₂O₃ в различной атмосфере. В кислороде замечено существенное улетучивание, возрастающее с увеличением содержания влаги. В атмосфере сухого и влажного аргона испарение не было обнаружено. В этих же условиях Fe₂O₃ совершению не испаряется. По-видимому, испарение происходит вследствие окисления Cr₂O₃ до газообразного CrO₃, который диссоциирует до Cr₂O₃ при образовании диссоциации сублимата. Механизма влияния влаги на испарение окиси хрома установить не удалось.

Резюме авторов

*РЖХ 1962
10Б286*

VII 2112 1961

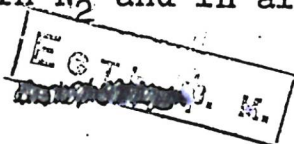
MgO, Cr₂O₃(Tm)

McNally R.N., Peters F.J.,
Ribbe P.H.

J.Amer.Ceram.Soc., 1961, 44, N10, 491-93.

Laboratory furnace for studies in controlled atmospheres, melting points of MgO in a N₂ atmosphere and Cr₂O₃ in N₂ and in air atmospheres.

RX., 1962, 8K275 Be



Cr_2O_3
303

1961

Галутишин Ю. М.,
Изинь-куй л.

Ташберг

Магн. физ. химия,
1961, 35, с. 129.

55

Т.к. $\text{Cr}_2\text{O}_3(\text{K}, \alpha)$

Cr_2O_3

Grimley R.T., Burns R.P., [1961]
Tightram Mark G.

"J. Chem. Phys." 1961, 34, No. 664-7

Magnetoacoustic microphones

Cr_2O_3 . Frequency discrimination

CrO , CrO_2 , CrO_3

Can III Cr O

VII 1026 : 1961

Cr_3Si , Cr_5Si_3 , CrSi ,

CrSi_2 , Cr_2O_3 (Cp , $\Delta \text{Hf}^\circ_{298,1}$)

Hsin Kui Liang,
Acta phys. sinica

~~Wu Li Hsueh Pao~~, 1961, 17, 569-86.

The heat of formation, molar heat, and
magnetic susceptibility of the system
Cr-Si.

etc & p.K

Be, M., 

CA., 1964, 61, N5, 5018c

CrO_2 , Cr_2O_3 (ΔH)

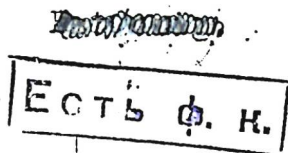
VII 2147 1961

Kubota B.

J. Amer. Ceram. Soc., 1961, 44, N5, 239-48.

Decomposition of higher oxides of chromium under various pressures of oxygen.

RX., 1962, 35422 M, 5



1961

Cr_2O_3

Ляй Узинь-Күй.

Чен Сюэдао, Acta phys. sinica, 1961, 17, N12, 567.

ΔH_f

О межсплавах образованных, межспектроскопических и макротермических конформациях в системе $\text{Cr}-\text{Si}$,
 $x \cdot 1964 \cdot 6 \cdot 5349$.
(сост. CrSi_x)

VII 1192

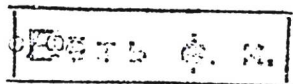
1961

Cr_3Si , Cr_5Si_3 , CrSi , CrSi_2 , $\underline{\text{Cr}_2\text{O}_3}$ (Cp , ΔH^{298})

Для Цзинь-куй

Уже свободо,

Acta phys. sinica, 1961, 17, N 12, 585-586



MS

Gr_2O_3 Сахаров Г.В., 10 сентября 7.9. 1961

"K. прика. Кирин" 1961, 34
"N12, 2780-82

Взаимодействие окиси и карбоната
хрома с образованием металличес-
кого хрома.

Сур Г.

CrO_3 - paragonite

1961

PMLXIII, 1962, 35422

Rubotai B.

J. Amer. Ceram. Soc.

1961, 44, W5, 239-248

Cr_2O_3
2426

1962

= em. III Töns n 1227

Winkl
Gmelins Handbuch der
Anorganischen Chemie. 8. Auflage.
Chrom. System Nummer
52, Teil B., 1962, 33.

5

m. q. Cr_2O_3 (K_1 , w)

Cr_2O_3

Neugebauer J.

1962

Tungsram. techn. Mitt.,
N7, 290

Новейшее летучество
окислов низ действием
водяных паров.

(Cr_2O_5) I

VII 2279 1962

Cr₂O₃ (EDC, Δ Zf)

Rolin M., Gallay J.J.

Electrochim. acta, 1962, 7, March-Apr., 153-78.

Ucilisation d'oxyde insoluble pour la
mesure potentiometrique de la concentration
d'alumine en solution dans la cryolithe
fondué.

Est/orig.

RX., 1963, 16B299 W.M.

VII 4465 1962

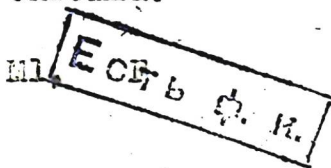
Al_2O_3 , Cr_2O_3 - a, b, c.

Spriggs R.M., Bender S.L.

J.Amer.Ceram.Soc., 1962, 45, N20, 506.

Vegards law and the system alumine-chromia.

RA, 1963, N17 313



(Cr₂O₃)

VII - 4554

1963

20 Б684. Активности сплавов железа с хромом.
Jeappin Y., Mapperskantz C., Richardson F. D. Activities in iron-chromium alloys. «Trans. Metallurg. Soc. AIME», 1963, 227, № 2, 300—305 (англ.)

В циркуляционной установке при т-рах 1040—1300° определены константы равновесия р-ции $\text{Cr}_2\text{O}_3 + 3\text{H}_2 = 3\text{H}_2\text{O} + 2\text{Cr}$. Состав газовой фазы определялся путем вымораживания H_2O из отдельных проб газа после установления равновесия (4—10 час.). Для образования Cr_2O_3 из элементов получено $\Delta G^\circ_{1300-1600^\circ\text{K}} = -266\,700 + +59,95 T \pm 300$ кал/моль, что лучше всего согласуется с термич. данными. Эти же равновесия исследованы для р-ра Cr в Fe (от 2 до 30 вес.% Cr) и использованы для оценки активности Cr в сплавах Fe—Cr. Найдены положительные отклонения от идеальности, как в α -, так и в γ -фазах. Результаты анализируются и сопоставляются с данными других авторов, полученных иными методами.

А. Гузей

X. 1967. 20

Cr_2O_3

Neugebauer J.

1963

Acta chim. Acad. scient. Hung.
37, N 3, 247

Изучение температур
окислоб в присутствии
богатого пара.

($\text{Cu} \cdot \text{V}_2\text{O}_5$) I

7/1963 VII 1914 1963

MoF₆, MoO₂F₂, CrO₂F₂, WF₆, WO₂F₂, Cr₂O₃,
VOF₃, V₂O₅ (K p)

Никонов Н.С., Власов С.В., Буслаев Ю.А.,
Ольховский А. А.

В. с. "Рус.-хим. анализ," Новосибирск,
изд. орг. АН ССР, 1963, 97-103.

РНЭХ, 1964, 22 6505 М. Серб. обнр.

Cr_2O_3 Schneider St. J. 1963
4198

W. M. Schneider
computation on the
Melting Point of the metal
Oxides. NBS Monograph 68,
Washington, 1963

24

m. p. Cr_2O_3

Cr₂O₃ (ΔH)

VII 505

1964

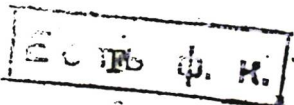
Healy G.W., Schottmiller J.C.

Trans. Metallurg. Soc. AIME, 1964, 230, N3,
420-425

The chromium oxide-silica system at
low oxygen pressures.

RM., 1964, 11A53

M



Cr_2O_3

Moody G.J.,
Thomas J.D.R.

1964

ΔH_f (paress), J. Chem. Soc.,

1964, aug, 1417

ΔH_p -values
queensborough,
holland.

(all. Sc_2O_3) I

BP-2-4490 1964
Ce₂O₃ (zinc.) Skinner H.A.

Skinner H.A.

Pure and Appl.

SHF

Chem., 1964, 8, n^o 2,

113.

(Cu. BeO) I

Nb_2O_5 - Cr_2O_3

WO_3

MoO_3

Felten E.Y.

1968

y. Less-Common Metals,
9, N3, 206

Двойное системное окислов
из Nb_2O_5 с окислами Zr-TiB,
получено сплавлением с
методом.

(all. Nb_2O_5) I.

1965

Сг₂O₃

6 В10. Получение окиси хрома особой чистоты методом зонной плавки. Мохосоев М. В., Гольманова Т. Т. «Ж. прикл. химии», 1965, 38, № 7, 1599—1600

Метод зонной плавки применен для получения Сг₂O₃ особой чистоты. В кач-ве исходного сырья выбран $K_2Cr_2O_7$ ввиду его низкой т. пл. и легкости получения из него Cr_2O_3 термич. разложением. Очистка бихромата проводилась на горизонтальной установке зонной плавки в кварцевых лодочках при различных режимах. Из очищенного методом зонной плавки $K_2Cr_2O_7$ получена Cr_2O_3 особой чистоты с содержанием примесей (%): Na 0,003, K 0,003, Mg 0,003, Ca 0,0029, Al 0,0005, Mn 0,0023, Cu<0,001, Ni<0,003 и Co<0,003.

Реферат авторов

Получение

РЖХ, 1966,

VII -5715

1965

Cr₂O₃ (Krusc.) (D_i)

Renneke D.R., Lynch D.W.,
Phys. Rev., 1965, 138, n2A, 530-533

10

M 1159

1965

CO , CO_2 , Cr_2O_3 , Cr_{23}O_3 , Cr_7C_3 , Cr_3C_2 ,
 W_2O_9 , WO_3 , WO_2 , WC , W_2C , MoO_3 , MoO_2 ,
 $\text{Mo}_{2,21}\text{C}$ (Gf)

Worrell W.L.,

Trans. AJME, 1965, 233(6), 1173-7

A thermodynamic analysis of the
Cr-C-O, Mo-C-O and W-C-O systems

Li, Be

CA., 1965, 63, N5, 5331d

Cr_2O_3
4541

1965

Tretjakow Y.D., Schmalzried H.

Ber. Bunsen Ges. phys. Chem;

Тандерг

1965, 69, 396.
 $\stackrel{\text{S.}}{=}$

165

T. x. $\text{Cr}_2\text{O}_3(\text{R}, \alpha)$

Gd, U₃, Dy, NiCl₂, FeCl₂, 6TBF₇ 1965
CoCl₂·H₂O, Sm, MnF₂, NiF₂, Cr₂O₃, β-UH₃(Cp)
0830p. VI 4856

Yamamoto T., Tanimoto O., Yasuda Y.,
Okada K.

NBS (US), Misc. Publ. No 27B, 86-91, 1965

5 (P)

15

VII 3835

1966*

Sc_2O_3 , Cr_2O_3 (T_u)

Треебетский С.Г., Навоихов В.Н.,
Ломаев А.М.,

Уф. АН ССР. Неоргн. материалы,
1966, 2, 269-274

$nH > 10$

f

1966

Сн 203

13 Б403. Влияние высокого давления на параметры решетки Cr_2O_3 и $\alpha\text{-Fe}_2\text{O}_3$. Lewis G. K., Jr. Dricka -
шег H. G. Effect of high pressure on the lattice para-
meters of Cr_2O_3 and $\alpha\text{-Fe}_2\text{O}_3$. «J. Chem. Phys.», 1966, 45,
№ 1, 224—226 (англ.)

Cr_2O_3 и $\alpha\text{-Fe}_2\text{O}_3$ подвергнуты давлению до нескольких сотен кбар, изменения в параметрах решетки измерены по сдвигам линий (116) и (024) (в гексагон. установке). Даны таблицы результатов и графики в координатах $V/V_0 - p$ и V/V_0 — изменение различных кристаллографич. характеристик. Изменение объема V/V_0 с увеличением давления указывает на уменьшение сжимаемости Cr_2O_3 и увеличение в $\alpha\text{-Fe}_2\text{O}_3$ и отсутствие такой зависимости для Al_2O_3 , изученной ранее (РЖХим, 1966, 14Б343). В гексагон. установке Al_2O_3 проявляет наибольшие изме-

+1

x. 1967. 13

нения параметра c и наименьшие — a с увеличением p . Параметры a и c Cr_2O_3 ведут себя противоположным образом, a и c $\alpha\text{-Fe}_2\text{O}_3$ дают промежуточный характер изменения. В ромбоэдрич. установке параметр a Cr_2O_3 изменяется в наибольшей, а Al_2O_3 — в наименьшей степени. Как наиболее интересное наблюдение, рассматривается увеличение угла α у Al_2O_3 на $0,5^\circ$, уменьшение α у Cr_2O_3 на $\sim 1^\circ$ и постоянство α для $\alpha\text{-Fe}_2\text{O}_3$. Предполагается, что искажение октаэдрич. окружения катиона в Cr_2O_3 и $\alpha\text{-Fe}_2\text{O}_3$ увеличивается с давлением, а в Al_2O_3 — уменьшается.

В. Урусов

Cr_2O_3

VII-140

1966

Thermodynamic properties of Cr_2O_3 and FeCr_2O_4 at high temperatures. I. A. Novokhatskii and L. M. Lenev. *Zh. Neorgan. Khim.* 11(9), 2014-20(1966)(Russ). A dynamic method in conjunction with a condensation hydrometer and a Li chloride moisture monitor were utilized to study the resp. equil. reactions between H and Cr_2O_3 (1220 - 1620°) and $\text{Fe-Cr}_2\text{O}_4$ (1300 - 1500°). From the data are calcd. the thermodynamic properties assoccd. with the formation of Cr_2O_3 : $2\text{Cr} + 1.5\text{O}_2 = \beta\text{-Cr}_2\text{O}_3$; $\Delta G_T^\circ = 270,780 + 61.72T$ (± 700 cal./mole), and $\log P_{\text{O}_2} = 39453/T - 8.994$. The thermodynamic properties of FeCr_2O_4 are: $\text{FeO} + \beta\text{-Cr}_2\text{O}_3 = \text{FeCr}_2\text{O}_4$, $\Delta G_T^\circ = -15,850 + 2.60T$ (± 700 cal./mole); $\text{Fe} + 2\text{Cr} + 2\text{O}_2 = \text{FeCr}_2\text{O}_4$, $\Delta G_T^\circ = -348,100 + 78.66T$ (± 1200 cal./mole); $2\text{Fe} + \text{O}_2 + 2(\beta\text{-Cr}_2\text{O}_3) = 2\text{FeCr}_2\text{O}_4$, $\Delta G_T^\circ = -154,640 + 33.87T$ (± 1000 cal./mole) and $\log p_{\text{O}_2} = -33,800/T + 7.404$.

R. J. Ackermann

C.A. 1966, 65, 12
17787fg

+1

18

~~Cr₂O₃~~

1966
У8 Б574. Термодинамические свойства Cr₂O₃ и FeCr₂O₄
при высоких температурах. Новохатский И. А.,
Ленев Л. М. «Ж. неорган. химии», 1966, 11, № 9,
2014—2020

Методом струи в интервале 1220—1620° изучено
равновесие р-ции $(1/3)(\beta\text{-Cr}_2\text{O}_3) + \text{H}_2 = 2/3 \text{Cr} + \text{H}_2\text{O}$

$$\lg K_p = -(6598/T) + 1,464; \quad \Delta G_T^0 = 30185 - 6,699T$$

(± 200 кал/моль), вычисленное для р-ции (1220—1620°):

$$2\text{Cr} + 1,5 \text{O}_2 = \beta\text{-Cr}_2\text{O}_3; \quad \Delta G_T^0 = -270780 + 61,72T$$

(± 700 кал/моль); $\lg P_{\text{O}_2} = (39453/T) - 8,994$. Тем же

методом в интервале 1300—1500° изучено равновесие
р-ции $\text{FeCr}_2\text{O}_4 + \text{H}_2 = \text{Fe} + \beta\text{-Cr}_2\text{O}_3 + \text{H}_2\text{O}$, $\lg K_p =$

$$= -(3795/T) + 0,686; \quad \Delta G_T^0 = 17360 - 3,14T \quad (\pm 400 \text{ кал}/\text{моль})$$

Для р-ции $\text{FeO} + \beta\text{-Cr}_2\text{O}_3 = \text{FeCr}_2\text{O}_4$ (1000—1500°),

$$\Delta G_T^0 = -15850 + 2,60T \quad (\pm 700 \text{ кал/моль}); \quad 2\text{FeCr}_2\text{O}_4 =$$



+1

☒

X·1967·8

$= 2\text{Fe} + 2(\beta\text{-Cr}_2\text{O}_3) + \text{O}_2, \quad \Delta G_T^0 = 154640 - 33,87T$
 $(\pm 1000 \text{ ккал/моль}), \lg P_{\text{O}_2} = -(33800/T) + 7,404; \text{Fe} +$
 $+ 2\text{Cr} + 2\text{O}_2 = \text{FeCr}_2\text{O}_4, \quad \Delta G_T^0 = -348100 + 78,66T$
 $(\pm 1200 \text{ ккал/моль}). \text{Для р-ции образования (в стандарт-}$
 $\text{ных условиях)} \text{FeCr}_2\text{O}_4 \text{ из окислов } \Delta H_{298}^0 = -13,1 \pm$
 $\pm 0,7 \text{ ккал/моль}; \Delta G_{298}^0 = -13,9 \pm 1,0 \text{ ккал/моль.}$

Реферат авторов

1966

Cr₂O₃

19 В18. Природа окиси хрома, полученной из бихромата аммония. Rao S. R., Ramakrishna V. The nature of chromium oxide obtained from ammonium dichromate. «Indian J. Chem.», 1966, 4, № 1, 43—44 (англ.)

С помощью хим. анализа определена конц-ия ионов Cr⁶⁺ в образцах Cr₂O₃, полученных термич. разложением (NH₄)₂Cr₂O₇ при разных т-рах. Разложение (NH₄)₂Cr₂O₇ начинается при 280°. Образцы Cr₂O₃, полученные при низких т-рах, имеют темно-серый цвет, полученные при высоких (800—900°) т-рах зеленый. Темно-серый цвет низкот-риых образцов связан с наличием ионов Cr⁶⁺. Образцы приобретали зеленый цвет после выщелачивания иона Cr⁶⁺ водой. Мин. кол-во ионов Cr⁶⁺ содержали образцы, полученные при 550—650°. При более высоких т-рах получения образцов конц-ия ионов Cr⁶⁺ прогрессивно уменьшается

И. Семенов

X. 1966. 19

<u>(Cr₂O₃;</u>)		VII-4916	1967
<u>CrO; CrO₂</u>			
<u>ΔH°</u>			
<u>ΔG°</u>			
<u>K_p</u>			
C.A. 1870.72.20		+2	☒

104640m Preparation of oxygen compounds of chromium from chromium chlorides (thermodynamic analysis). Bulatova, L. G.; Vil'nyanskii, Ya. E. (USSR). *Tr. Ural. Nauch.-Issled. Khim. Inst.* 1967, No. 16, 129-41 (Russ). Thermodynamic anal. of the following reactions was performed: $2\text{CrCl}_3(s) + 1.5 \text{O}_2(g) = \text{Cr}_2\text{O}_3(s) + 3\text{Cl}_2(g)$; $2\text{CrCl}_3(g) + 1.5 \text{O}_2(g) = \text{Cr}_2\text{O}_3(s) + 3\text{Cl}_2(g)$; $2\text{CrCl}_2(s) + 1.5 \text{O}_2(g) = \text{Cr}_2\text{O}_3(s) + 2\text{Cl}_2(g)$; $2\text{CrCl}_2(l) + 1.5 \text{O}_2(g) = \text{Cr}_2\text{O}_3(s) + 2\text{Cl}_2(g)$; $2\text{CrCl}_2(g) + 1.5 \text{O}_2(g) = \text{Cr}_2\text{O}_3(s) + 2\text{Cl}_2(g)$; $\text{CrCl}_2(s) + 0.5 \text{O}_2(g) = \text{CrO}(s) + \text{Cl}_2(g)$; $\text{CrCl}_2(l) + 0.5 \text{O}_2(g) = \text{CrO}(s) + \text{Cl}_2(g)$; $\text{CrCl}_3(s) + \text{O}_2(g) = \text{CrO}_2(s) + 1.5\text{Cl}_2(g)$; and $\text{CrCl}_4(g) + \text{O}_2(g) = \text{CrO}_2(s) + 2\text{Cl}_2(g)$. The basic expressions for ΔH° , ΔG° , and $\log K_p$ for these reactions were obtained.

J. Pietkiewicz

6, 7, 10G.

VI 1890

1964

космополитические астероиды Fe_2O_3 - Cr_2O_3 и
 Na_2O - K_2O (Γm , ΔHm)

Беренсон А. С.

Докт. АН УССР, №п. 5, 1967, 29(4),
1004-1007.

С.А., 1968, 69, № 16, 619729. 5

Cr_2O_3 , Cr_2O_{21} , Cr_5O_{12} , Cr_2O_2 , $(\text{Cr}_2\text{O}_3 \cdot 6\text{H}_2\text{O})_{\text{sp}}$) 1967

Richelmi R., Laffaille M. VII 1963

C. r. Acad. sci., 1967, C 265, n° 10, 541-543 (ppres.)

Analysé en temps différentiel de
l'anhydride chromique par microcalorimétrie.

ÉOTB sp. K.

M, 5 (sp) 10

PHILIPS, 1968

136831

Cr_2O_3
4219

Schwerdtfeger K.,
1967

Trans. Metallurg. Soc. AIME,

Томбезр

1967, 239, 1276.
P.

265

T.X. Cr_2O_3 (K,d)

VI 1683

6,7,14 9964

Okunisi 6 cementum Fe-O, Ti-O,
V-O, U-O, Mn-O, Pb-O, Cr-O (50 A)

Seiyama T., Takeyama N.

Metallurgie (Mons, Belg.), 1967,
7(4), 161-168

C&E, 1968, 69, n.8, 1307858

M.

1968

VI-5780

FeCr_2O_4 , Cr_2O_3 , FeO (Tm)

Белов Б.Ф., Новогилямский У.А.,
Русаков А.Н., Зорько А.В., Савченков А.

JIL. Pas. Число, 1968, 42(7), 1635-7.
Призовано из гравитационного сепаратора окиси
железа. (I)-окись хрома (II)

Be,

CA, 1968, 69, N22, 90281n

Cr_2O_3 , Cr_2O_3 (T_m) $\xrightarrow{\text{?}} 2290 \pm 50$ $^{\text{1968}} \text{C}$
 Cr_2O_3 (T_m)

Портной К.И., Мордовник О.А., Гимо-
 спеева Н.И.

Изв. Академии наук СССР, № 4, 1968, 1368
 Доказанна неавтор - 1370
доказана состав окись
окись — окись хромат
 синтез окись хромат
 синтез окись хромат

Дифракционная наблюдение
структурной окраски образо-
— окраски хрома

$$T_m(\text{Cr}_2\text{O}_3) = 2290 \pm 50^\circ\text{C}$$

$$T_m(\text{Eu}_2\text{O}_3) = 2220 \pm 50^\circ\text{C}$$

1968

Cr₂O₃

111

112

113

114

115

Kp.

Fukunaga O.,
Saito S.O.

Y. Huer, Ceram. Soc., 1968,
J. 51, N 4, 362.

желтое пакостное
стекло Cr₂O₃ - Cr₂O₃

(CaO. Cr₂O₃) 1

Al_2O_3 , Cr_2O_3 , Fe_2O_3 , TiO_2 , (ΔH_{dr})⁵ 1968.

Wataraman M., Chandrasekhar G.V.

Rao C.N.R.,

J. Chem. Eng. Data, 1968, 13(2), 235
l b - block cells

floats of crystallization of some
amorphous oxides.

5



Ca, 1968, 69, w6, 22636 p

VII 4904

1968

$\text{CrO}_2 \cdot \text{Cr}_2\text{O}_3$ (T_{tr})

Osamu F., Shinzoku S.,

J. Amer. Ceram. Soc.,

1968, 51, n7, 362-365

T

VII 4703.

1968.

Cr₂O₃ (T_{tr})

Worlton T.G., Brugger R.H.,
Bennion R.B.,

J. Phys. and Chem. Solids,

1968, 29, n3, 435-438

T

VII 4630

1969

Cr₂O₃, MgO, MgCr₂O₄
(T₁₄)

Pánek Z., Karelíř E.,

Silikáty, 1969, 13, n 3, 255-260

5



leius opus

$\text{Cr}_2\text{O}_3(\text{C})$

1969

Advances 1962

Leo Brewer, Gerd Rosenblatt.
"Adv. in High Temp. Chem."
1969, 2, I-83.

1 Hf
298

Określenie xpojęcia (phy. i ch. C8-62) 1969
(monograficzny)

Dereu J., Haber J. A - 1545

Studies on the Physicochemical
and Surface Properties of Chromi-
um Oxides, Warsaw, 1969, 150 pp.

M,5

10

kompleksowy

CA, 1970, 73, N6, 31166V

1969

Cr₂O₃

22 Б799. О прямом методе определения давления кислорода в равновесии с окислами при 600°. Применение к системе молибден — кислород. Le Brusq Henri, Oehlig Jean-Jacques, Marion Fernand. Sur une méthode de détermination directe des pressions d'oxygène d'équilibre d'oxydes à 600° C. Application au système molybdène — oxygène. «C. r. Acad. sci.», 1969, C268, № 11, 1047—1049 (франц.)

С использованием полупроводниковых св-в Cr₂O₃ изучено парц. равновесное давл. O₂ (10^{-6} — 10^{-16} м.м) при т-ре 600°. Электрич. сопротивление Cr₂O₃ P-типа при постоянной т-ре есть ф-ция парц. давления O₂, к-рое вычисляется из ур-ния: $\lg R/R_0 = -k \lg P_{O_2}$, где R₀ — сопротивление при $P_{O_2} = 1$ бар и k меняется с т-рой (K=0,02 при 600°). Использование данного метода для окислов Mo позволило уточнить область стабильности α-, β-, γ- и δ-фаз.

М. Г. Лифшиц

Б. А. 1969

• 22

Б799

С.А. 118347₃

+1

Vol. 70 (1969)

(С.Н.)

Парциальное давление О $\propto \alpha, \beta, \gamma$ и
δ-фаз в смеся Mo-O при 600° было
определено из измерений электропро-
тивления Cr_2O_3 Р-типа (Изумрудовский)
по энтр. Фаселю определены облада-
ющими указанных фаз.

Равновесное пари. давление О при 600°
составляет $\alpha \approx \beta 10^{-14,5}$, $\beta \approx \gamma 10^{-15}$,
и $\gamma \approx \delta 10^{-17} \text{ дар}$

Gd₂O₃, CeO₂, Fe₂Ti₂O₉, FeOF, 8/6 1969

La₂O₃, CoO, Mo, Ca₂O₃, CrN, Ni₃SnO₃, Ti 100

Ca₂Si₂O₅, V₂O₅, LiVO₃, BaTiO₃ (Ti₂) VI 7/148

Williams H.W., Chantrell and B.G.

J. Mat. & Chem., 1969, 9, 2114, 2029-2036 (cont'd)

Detailed discussion of Curie, Neel, or crystallization
graphic transition temperatures via
differentiate scanning calorimetry.

lewis p.r.

Phys Rev, 1970

1151355

Q 21.5 Q

Cu₂O₃

1970

20 Б690. Исследование методом э. д. с. термодинамических характеристик высокотемпературных реакций.

Бармин Л. Н., Шурыгин П. М. В со. «Физ. химия расплавлен. шлаков». Киев, «Наук. думка», 1970, 195—200

ΔG, ΔH

затр-щес.

При т-рах 1673, 1723 и 1773° К измерены э. д. с. гальванич. ячейки вида Al в Me'|₁CaO, SiO₂, Al₂O₃|₂MgO|₃CaO, SiO₂, Al₂O₃, Cr₂O₃|4Cr, где в кач-ве левого электрода использованы сплавы Al с Cu (2, 19 и 37 ат.% Al) и Al с Fe (44 ат. % Al). В кач-ве электролита (1) использовался шлак состава 64% CaO, 7% SiO₂, 29% Al₂O₃. За время опыта шлак обогащался MgO, и после опыта его состав был 62% CaO, 5,5% SiO₂, 27% Al₂O₃, 5,5% MgO. Состав шлака (3) тот же, но он насыщен Cr₂O₃. Рассчи-

X. 1970

20

танные из данных э. д. с. значения свободной энергии и энталпии р-ции $\text{Cr}_2\text{O}_3 + 2\text{Al} = \text{Al}_2\text{O}_3 + 2\text{Cr}$ на 20 и 10%, соотв., отличаются от вычисленных из термохим. данных, что связано с погрешностью интерполяции по т-ре и составу лит. данных для определения активности Al_2O_3 в шлаке и Al в расплаве.

А. Гузей

TiO₂-CrO_{1,5} (gray-greenish) 1970

See Ch.W., 7 VII 4793

Ber. Deut. Keram. Ges., 1970, 47, №3,
169-75 (Kiesel.)

Titania - chromium oxide compositions and their phase conditions.

6 6 @



CA/1970, V3, N2, 78492

Cr_2O_3
3897

Pugliese L.A., Fitterer G.R. 1970

Томберг

Metall Trans., 1970, 1, 1997.
P.

178

T.X. Cr_2O_3 (k, α)

1971-

Cr_2O_3

10 Б112 Деп. Масс-спектрометрическое исследование состава и давления пара окиси хрома. Чижиков Д. М., Цветков Ю. В., Казенас Е. К., Тагиров В. К. (Редколлегия «Ж. физ. химии» АН СССР). М., 1971. 7 с., ил., библиогр. 5 назв. (№ 3770—71 Деп.).

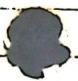
С помощью метода высокоточной масс-спектрометрии при вакууме $3 \cdot 10^{-7}$ мм изучено испарение Cr_2O_3 . Обнаружены: Cr, CrO, CrO_2 и O как главные составляющие парогазовой фазы. Определены парц. давл. парогазовых компонент при испарении Cr_2O_3 (тв.), к-рые описываются ур-ниями (давл. в мм): $\lg P(\text{Cr}) = -27350/T + 11,65$ ($1690-1930^\circ\text{K}$); $\lg P(\text{CrO}) = -23256/T + 8,43$ ($1820-2020^\circ\text{K}$); $\lg P(\text{CrO}_2) = -30769/T + 12,02$ ($1840-2010^\circ\text{K}$).

Резюме авторов

РМ

X,

1972, ~10



(12)

X

GraB(k) [Om. 22188] 1971

Graham H.C., Davis H.H.,

J. Amer. Ceram. Soc.,
1971, 54, 89-93.



Lm. 21711

1971

Горбатовский

VII-6515

Чеканкин Д.М., Шенков Г.В.

и др.

Кр, Рам. Насл - спектролитическое ис-
следование соединения к гидрокси-
дата окиси хрома.

БАНИТИ № N 3770-71, Москва,
1971.

$\text{Ce}_2\text{O}_3 (\Delta H_f)$

электрохимия

1971

реакторы

$\text{Pt}|\text{Cr}, \text{Cr}_2\text{O}_3$

$\text{CaO}-\text{ZrO}_2$

$\text{H}_2, \text{H}_2\text{O}|\text{Pt}$

1638

ониций

A. A. Briggs,

W. A. Denck,

W. Slough

Y. Chen. Thermodynamics 3, 43 - 49
(1971)

Al₂O₃

VII- 5326

1941

ΔH_v ;

P

25727d Vaporization behavior of aluminum oxide-chromium oxide solution at high temperatures. I. Equilibrium vaporization of chromic oxide from aluminum oxide-chromium oxide solid solutions. Sasamoto, Tadashi; Sata, Toshiyuki (Res. Lab. Eng. Mater., Tokyo Inst. Technol., Tokyo, Japan). *Kogyo Kagaku Zasshi* 1971, 74(4), 578-86 (Japan). The vapor pressures of Cr₂O₃ over Al₂O₃-Cr₂O₃ solid solns. at 1450-650° had a neg. deviation from the vapor pressures for ideal solns. The heat of vaporization of Cr₂O₃ increased and then decreased with increasing Cr₂O₃ concn. For pure Cr₂O₃, the vapor pressure P (atm) was $\log P = 10.5 - 3.20 \times 10^4/T$, where T is °K.

C.H. 1941 454

$\text{clinK}_2\text{FeF}_9\text{CoF}_2$,
 Cr_2O_3 , $\alpha\text{-Fe}_2\text{O}_3$, Ce , EuTe (T_{cr})^{vii} 5328
7 8 -

Shapiro Y.

J. Appl. Phys., 1971, 42, N° 11, 1588-94
(annex)

Antiferromagnetic phase
transitions by ultrasonic
techniques.

5 (q)

1.4



CH 1971, 44, 124, 132258C

20516.8873

Ch, Ph

VII 6404

Cr_2O_3 (Tb+e)

1972

Bachellerie A.

BP-6404-VII

Étude de quelques propriétés de la transition de phase de Cr_2O_3 à l'aide d'ondes élastiques de $\sim 1 \text{ GHz}$.

"Ber. Bunsenges. phys.-Chem.", 1972, 76,
N 3-4, 276-279

б

(Франц. ; рез. исп., англ.)

604-608

0612

0619 пивийнити

Cr_2O_3

1972

Lenev L.M. et.al.

Eksp. Issled. Mineraloobrazov. Sukhikh ø
Okisnykh Silikat. Sist.

1972, I07-II.

(cst Al_2O_3 ; I)

1972

Cr₂O₃·4H₂O

1972

13 Б834. О термической дегидратации гидроокиси хрома. Прибылов К. П., Kovшова Л. В., Яркова Э. Г. «Ж. неорг. химии», 1972, 17, № 4, 895—897
Методом дифференциального-термич. анализа с одновременной регистрацией газовыделения изучен процесс термич. дегидратации Cr₂O₃·4H₂O в интервале давл. 756—4 мм. Термич. разложение гидроокиси хрома проходит по схеме $\text{Cr}_2\text{O}_3 \cdot 4\text{H}_2\text{O} \rightarrow \text{Cr}_2\text{O}_3 \cdot 2\text{H}_2\text{O} \rightarrow \text{Cr}_2\text{O}_3 \cdot \text{H}_2\text{O} \rightarrow \text{Cr}_2\text{O}_3$ (ам) $\rightarrow \text{Cr}_2\text{O}_3$ (крист.).

Резюме

Kp

X. 1972.

13

1972

 Cr_2O_3

№ 3 Б719. Испарение Cr_2O_3 из твердых растворов $\text{Al}_2\text{O}_3-\text{Cr}_2\text{O}_3$. Часть I. Sasamoto Tadashi, Sata Toshiyuki. Vaporization of chromic oxide over $\text{Al}_2\text{O}_3-\text{Cr}_2\text{O}_3$ solid solutions. Part I. «Bull. Tokyo Inst. Technol.», 1972, № 108, 123—139 (англ.)

В интервале т-р 1450—1650° методом собирающей мишени, скомбинированной с вольфрамовой ячейкой Кнудсена, изучено испарение Cr_2O_3 (I) из тв. р-ра Al_2O_3 —I. Для давл. пара I получено: $\lg P(\text{атм.}) = 10,5 - 3,2 \cdot 10^4/T$. Вычислена теплота испарения I $\Delta H = 140$ ккал/моль. В интервале 0—20 мол.% I давл. I над тв. р-ром соответствует давл. пара идеального р-ра. При 30—70 мол.% I оно линейно возрастает с отриц. отклонением от идеального поведения, а при содержании I, более 80 мол.% происходит резкое увеличение давл. I.

По резюме

 (P, k_p)

x. 1973 № 3

Cr_2O_3
4444

1972

SUZUKI K., SAMBONGI K.,

Томбезр

Tetsu to Hagane,
1972, 58, 1579.

185

T.X. Cr_2O_3 (R,d)

$\text{Li}_2\text{O}_3 (\text{cp})$

1973

Джинов С.-А., Механический Д.Р.

Докл. Бюлларса Акад. Наук.

1973, 26, с 1213

C. A. 1974, 80, N24

1973



138578c How to determine the Neel temperature of α -chromium(III) oxide from the temperature relation of the EPR spectra. Angelov, S. A.; Mekhanchiev, D. R. (Gen. Inorg. Chem. Inst., Sofia, Bulg.). *Dokl. Bolg. Akad. Nauk* 1973, 26(9), 1213-16 (Eng). The Neel temp. T_N of $\alpha\text{-Cr}_2\text{O}_3$ was detd. from measurements of the temp. dependence of the EPR line width. The EPR spectra were taken at 9.240 MHz and 293-873°K by using single-crystal and polycryst. samples. At T_N , the line width diverges, while the resonance field heads towards zero. From a least squares anal. of the exptl. data, $T_N = 306.2 \pm 0.2^\circ\text{K}$.

$$(T_{\text{Neel}}) \\ = 306,2 \text{ K} \\ \pm 0,2$$

C.A. 1974. 80. N 24

1973

Cr_2O_3

8 Б576. Определение температуры Нееля для α -
 Cr_2O_3 из температурной зависимости спектров ЭПР.
Angelov S. A., Mehandjiev D. R. How to determine neel's temperature of α - Cr_2O_3 from the temperature relationship of the EPR-spectra. «Докл. Болг. АН»,
1973, 26, № 9, 1213—1216 (англ.)

С целью уточнения значения т-ры Нееля T_N измерена зависимость ширины линии ЭПР на частоте 9240 МГц в интервале 293—873 К для монокристалла:

$$(T_{tr}) = \\ = 306,2 \text{ K} \pm \\ \pm 0,2 \text{ K}$$



Х. 1974 № 8

α - Cr_2O_3 и поликрист. образцов, полученных выдерживанием гидроокиси хрома при ~ 673 К в атмосфере H_2 . Показано, что выше 309 К ширины линий ЭПР α - Cr_2O_3 не зависят от т-ры и составляют при 418 К для моно-кристалла 480 и 430 гс, соотв., для $H \parallel c$ и $H \perp c$, а для поликристаллов — 550 гс. Отмечено, что спектр ЭПР α - Cr_2O_3 резко изменяется и не наблюдается при $T_m^{\parallel} = 307,5$ и $T_m^{\perp} = 307$ К. Путем аппроксимации зависимости ширины линии в диапазоне 308,5—307,5 К ур-нием $\Delta H^{\parallel} = \Delta H_{\infty}^{\parallel} (T/T - T_N) P^{\parallel}$ определены значения $T_N = 306,2 \pm 0,2$ К, $\Delta H_{\infty}^{\parallel} = 7,0 \pm 1,0$ гс, и $P^{\parallel} = 0,89 \pm 0,01$ (тепр. вычисленное $\Delta H_{\infty}^{\parallel} = 10$ гс). Показано, что для поликрист. образцов T_m ниже, чем для монокристалла, и уменьшается с увеличением уд. Пв. Сделан вывод, что конц-ия дефектов одинакова при всех способах получения α - Cr_2O_3 , и разница в T_m обусловлена различием в размерах кристаллов. И. В. Мирошиченко

1975

Cr₂O₃

B9P-748-XVII

(46f)

150010y Thermochemistry of solid nickel-chromium alloys.
Rao, M. Vikram; Flores-Magon L, E. (Stanford Univ., Stanford, Calif.). *Met. Trans.* 1973, 4(10), 2471-3 (Eng). L. A. Pugliese and G. R. Fitterer (1970) attempted to det. the equil. on the Cr-rich side of the Cr-Ni phase diagram by measuring activities and by anal. calcns. Their results may be in error since they used the half-cell to det. their $\Delta G^\circ_{f, \text{Cr}_2\text{O}_3}$, the free energy of formation of the oxide. The complete cell technique should be used since the calcd. activities are very sensitive to ΔG°_f values measured in the 1st half-cell. Nat L. Shepard

C. 1973, N26, 79

Cr_2O_3 (c_p)

1974-78

JANAF thermochanical
tables, Supplements. Wash. 1974-78

α -Cr₂O₃

1974

84: 53082u Determination of the Neel temperature of α -chromium(III) oxide from the temperature dependence of the EPR spectra. Angelov, S.; Mehandjiev, D. (Inst. Gen. Inorg. Chem., Sofia, Bulg.). *Tr. Mezhdunar. Konf. Magn.* 1973 (Pub. 1974). 5, 454-8 (Eng). "Nauka": Moscow, USSR. The temp. dependence of EPR spectra of single-crystal and polycryst. samples of α -Cr₂O₃ were detd. in order to det. the Neel temp. T_N of the compd. from the EPR linewidth. The effect of reduced crystal dimension on the T_N was also studied. The EPR spectra were made at 293-873°K at 9.24 GHz. For single crystal samples, the best fit for T_N at 306.2°K agreed well with neutron diffraction results. The max. linewidth of polycryst. samples changed with changing sp. surface area of the sample. An equation is derived to include the coordination no. of the n -th sphere in the cationic sublattice.

C.A. 1976 84 n 8

$\text{Cr}_2\text{O}_3(\text{g})$

B.P. XVII-2681

1974

Bruce, Richard H., Cannell D.S.

Phys. Rev. B 1977, 15(5) p. 4451.

C.A. 1577, 87, N6

40607.4316

Ph, TC, MGU

Cr_2O_3

76237 04

1974

* 45538

Bachelierie A. J. Frenois Ch. Etude de
la transition de phase de Cr_2O_3 à l'aide
d'ultrasons de haute fréquence.

"J.phys."(France), 1974, 35, N 5,

437-446

(франц., рез.англ.)

0426 СКЗ 1

102 103

0118

324

ВИНИТИ

1974

*Cr₂O₃**46f*

20 Б717. Активности кислорода и металла в системе хром—никель—кислород в области 900—1100°. Davies Hayden, Smeltzer W. W. Oxygen and metal activities of the chromium—nickel—oxygen system between 900° and 1100° C. «J. Electrochem. Soc.», 1974, 121, № 4, 543—549 (англ.)

В интервале т-р 900—1100° измерены э. д. с. гальванич. ячеек с разделенным газ. электродным пространством Fe, FeO|ТЭ|Cr₂O₃, Cr₍₁₎, Cr, Cr₂O₃|ТЭ|Cr₂O₃, (Cr—Ni)_v₍₂₎, Cr, Cr₂O₃|ТЭ|Cr₂O₃, (Cr—Ni)_v, (Cr—Ni)_x₍₃₎, Fe FeO|ТЭ|Cr₂O₃, NiCr₂O₄, (Cr—Ni)_v₍₄₎, Fe, FeO|ТЭ|NiCr₂O₄, NiO, (Cr—Ni)-сплав, где ТЭ—тв. O²⁻-ионный электролит на основе ZrO₂, стабилизированной CaO. Из данных э. д. с. ячейки (1) для свободной энергии образования Cr₂O₃ получено $\Delta G = -263350 + 59,15 T (\pm 610)$ ккал/моль. Комбинирование этих результатов с лит. данными с использованием МНК дало $\Delta G_{\text{обр.}, \text{Cr}_2\text{O}_3} = -265020 (\pm 1960) + 60,15 (\pm 5,40) T$ кал/моль (1173—1373° K) со станд. отклонением ± 980 кал. Из данных э. д. с. ячейки (4) для $-\Delta G_{\text{обр.}, \text{NiCr}_2\text{O}_4}$ получено 234,9; 226,1 и 217,7 кал/моль.

(+) 1

x.1974. N20

17

при 900, 1000 и 1100° соотв. с погрешностью $\pm 1,2$ ккал. С использованием данных э. д. с. остальных ячеек для 10 сплавов Ni—Cr в области составов от 2,5 до 37,2 вес.% Cr определены равновесные давл. кислорода для сплавов, существующих как α - и γ -фазы и сосуществующих с Cr_2O_3 , NiO и NiCr_2O_4 . Результаты использованы для термодинамич. анализа системы Cr—Ni—O. С ростом содержания Ni в сплаве давл. O_2 возрастает от значения p_{O_2} , отвечающего чистой Cr_2O_3 , до давл., отвечающего моновариантной фазовой области α — γ — Cr_2O_3 с содержанием <0,2 вес.% Ni в Cr_2O_3 . При более высоких p_{O_2} фазовая область γ — Cr_2O_3 достигает моновариантную область γ — NiCr_2O_4 — Cr_2O_3 , где NiCr_2O_4 практически стехиометричен, Cr_2O_3 содержит $\sim 0,5$ вес.% Ni, а в γ -сплаве очень мало Cr ($\sim 10^{-4}$ вес.%). Не отмечено изменения состава шпинели вдоль области γ — NiCr_2O_4 , но содержание Cr в сплаве уменьшалось до $\sim 10^{-8}$ вес.% при достижении моновариантной области γ — NiCr_2O_4 — NiO , в к-рой NiO содержит 4,5 вес.% Cr.

А. Гузей

Cr₂O₃(2)

B9P-1245-XVII

1974

Cr₂O₃ OH₂

(16°)

1966
J. A. C. 1
Hydroxide
Belton, C. W. United Steel Co., East
Chicago, Indiana
Trans. Am. Inst. Min. Eng., 1811-16 (Eng).
A study was made by the transpiration technique, of the
volatility of CrO₃ in O-Ar, and O-water vapor-Ar mixts. in the
approx. range 1300-1585°. Volatilization occurs by the reactions
 $\text{Cr}_2\text{O}_3(\text{s}) + 3/2\text{O}_2(\text{g}) = 2\text{CrO}_3(\text{g})$ and $\text{Cr}_2\text{O}_3(\text{s}) + \text{O}_2(\text{g}) + \text{H}_2\text{O}(\text{g})$
 $= 2\text{CrO}_2\text{OH}(\text{g})$. The std. Gibbs free energy changes are given by
 $\Delta G^\circ = 472,800(\pm 6200) - 118.5(\pm 3.6)T$ and $\Delta G^\circ = 428,200(\pm 9400)$
- $119.4(\pm 5.6)T$ J, resp., where T is Kelvin temp. and the ref.
state for the gases is 1 std. atm.

N. L. Shepard

C.A. 1974. 81 x 24

77 17

$\alpha_{\text{Fe}}O_3$ (s.Gf)

(Вор-ХVII 1068)
1975

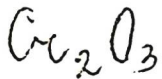
Illatmazandarany F.N., Pehlke R.D.

J. Electrochem. Soc., 1974, 121, N₅, 711-713

М (Ф)

Есть срнчн.

1974



$$(\Delta G^\circ)$$

22 Б805. Стандартная свободная энергия образования Cr_2O_3 . Mazandagapu F. N., Pchilke R. D. Standard free energy of formation of Cr_2O_3 . «J. Electrochem. Soc.», 1974, 121, № 5, 711—714 (англ.).

В интервалах т-р 1173—1540° К и 1148—1460° К измерены э. д. с. гальванич. ячеек с тв. O^{2-} -ионным электролитом Cr, $\text{Cr}_2\text{O}_3|\text{ThO}_2$ —8 мол. % $\text{YO}_{1,5}|\text{Co, CoO}$ и Cr, $\text{Cr}_2\text{O}_3|\text{ThO}_2$ —8 мол. % $\text{YO}_{1,5}\text{Mn, MnO}$. Разделению газ. электродного пространства способствовал поджим торца муллитовой трубки к таблетке электролита. Результаты измерений э. д. с. обеих ячеек хорошо согласуются между собой и с данными Дженинина и сотр. (см. РЖХим, 1967, 20Б684) по исследованию системы Cr— Cr_2O_3 методом гетерог. равновесий с $\text{H}_2/\text{H}_2\text{O}$ -смесями, но заметно отличаются от результатов, полученных методом э. д. с. с использованием в кач-ве электролита ZrO_2 ; стабилизированной CaO . Для т-рного интервала 1150—1540 рекомендовано след. ур-ние для свободной энергии образования Cr_2O_3 : $\Delta G^\circ(\pm 350) = -266600 - (\pm 640) + 59,78(\pm 0,32)T$ кал/моль.

А. Гузей

x. 1974. N22

Cr₂O₃

1975

125016c Effect of hydrostatic pressure on the anomalous thermal expansion behavior of chromium sesquioxide. Alberts, H. L. (Dep. Phys., Rand Afrikaans Univ., Johannesburg, S. Afr.). *J. Phys. Soc. Jpn.*, 1975, 38(5), 1541 (Eng). The effect of hydrostatic pressure on the thermal expansion of Cr₂O₃ was studied in detail in order to explain the anomalous behavior of the pressure dependence of Neel temp. of the compd. The results agree with the assumption $dT_N/dp > 0$. An equation for the calcn. of Neel temp. is derived.

(T_{Neel})

C.A. 1975, 83 n 14

1975

 Cr_2O_3

8 Е1467. Ферромагнитная форма полуторной окиси хрома. Maiti G. C., Bhattacharya R. C., Chosh P. K., Banerjee B. K. A ferromagnetic form of chromium sesquioxide. «Indian J. Pure and Appl. Phys.», 1975, 13, № 6, 359—362 (англ.)

Методом нагрева соединения CrO_3 в воздушной атмосфере до 375—450° С получено соединение Cr_2O_3 , изоморфное гематиту $\alpha\text{-Fe}_2\text{O}_3$, обладающее ферромагнетизмом. Т-ра Кюри T_c лежит в области 390—400° К. Указано, что этот ферромагнетизм не вызван примесями CrO_2 , поскольку в соединении Cr_2O_3 присутствуют только катионы Cr^{3+} , что подтверждено электронной спектрографией и спектроскопич. анализом. Весь процесс получения Cr_2O_3 , идентичного обычному антиферромагнетику $\alpha\text{-Cr}_2\text{O}_3$, контролировался термогравиметрич. анализом и дифференциально-термич. анализом. Об упорядочении спинов в этом соединении, как указывают авторы, будет особое сообщение, что позволит понять природу его ферромагнетизма.

Н. А. Смольков

φ 1976 № 8

Cr_2O_3

Бурчев Ф. Г. 1975.

термохим.
данные

"Изб. высш. гребн. гаварии
при. штампурин" 1975,
N10, 5-8.

(ав Cr_2O_3 ; T)

60112.6679

50301

B, XVII-1935

Ch, Mt

 $\text{MoO}_2, \text{Cr}_2\text{O}_3(\text{Mo})$

14 f.

Janke Dieter, Fischer Wilhelm Anton.

Thermochemische Kennwerte für die Reak-

tion $2\text{Cr} + 3/2 \text{O}_2 \rightleftharpoons \text{Cr}_2\text{O}_3$. Mo + $\text{O}_2 \rightleftharpoons$ MoO₂ sowie $1/2 \text{O}_2 \rightleftharpoons [\text{O}]$ in Eisen-

schmelzen. "Arch. Eisenhüttenw.", 1975,

46, N 12, 755-760 (aus. MoO₂; II)
(нем.; рез. англ., франц.)

ell

504 507 530

0538 винити

1975

Cr₂O₃

23 Б885. Определение стандартной свободной энергии Cr_2O_3 методом э. д. с с твердым окисным электролитом; применение этого метода для исследования хромсодержащих систем и минералов. Pehlke R. D., Mazzandarany F. N., Radzilowski R. H. Solid oxide electrolyte emf cell determination of the standard free energy of Cr_2O_3 and applications to chromium-bearing mineral systems. «Geochim. et cosmochim. acta», 1975,

39, № 6—7, 833—845 (англ.)

(46f)

Измерены э. д. с. гальванич. ячеек с тв. O^{2-} -ионным электролитом и разделенным газ. электродным пространством: $\text{Cr}, \text{Cr}_2\text{O}_3|\text{ThO}_2-\text{Y}_2\text{O}_3|\text{Co}, \text{CoO}$ (1173—1523° К) и $\text{Cr}, \text{Cr}_2\text{O}_3|\text{ThO}_2-\text{Y}_2\text{O}_3|\text{Mn}, \text{MnO}$ (1148—1430° К). Рассчитанные по данным обоих ячеек термодинамич. характеристики образования Cr_2O_3 хорошо согласуются между собой. Для свободной энергии обра-

X1975 №23

зования Cr_2O_3 в интервале т-р 1173—1523°К рекомендовано ур-ние $\Delta G^\circ (\pm 350 \text{ кал/моль}) = -266\,600 + +59,78 T$. Отмечено хорошее согласие полученных термодинамич. характеристик с лит. значениями, найденными методом гетерог. равновесий с $\text{H}_2/\text{H}_2\text{O}$ -смесями и рассчитанными из калориметрич. измерений. Указано существенное расхождение с лит. значениями, полученными методом э. д. с. с тв. электролитом из $\text{ZrO}_2 + \text{CaO}$, где в кач-ве электрода сравнения использован воздух. Сделан обзор имеющихся лит. термодинамич. данных по металлич. и окисным системам, изученным методом э. д. с. с тв. электролитом. Показана перспективность использования этого метода для изучения высокот-рной термодинамики нестехиометрич. соединений, включающих и хром.

А. Гузей

Cr_2O_3

1975

S4: 65967z. Thermal diffusivity of chromium(III) and tin(IV) oxides. Pop, Olivia; Nedea, A.; Stancescu, L.; Homorodean, L. (Rom.). *Stud. Univ. Babes-Bolyai, Ser. Phys.* 1975, 20, 59-62 (Rom). Thermal diffusivity measurements on Cr_2O_3 [1308-38-9] and SnO_2 [18282-10-5], by the heat pulse method, indicated that the mechanism of heat cond. was predominately by phonons. The Cr_2O_3 exhibited anomalous thermal diffusivity, with maxima and minima, from the Neel temp. of 314 to temps. as high as 600°K. G. Auslaender

(Neel)

C. A. 1976. 84/M10

B-90-XVII-2672

1976

Cr₂O₃

10 Б652. Влияние пористости на испарение окиси хрома в вакууме; термодинамические параметры испарения. Lee Hong-Lim, Sasamoto Tadashi, Sata Toshiyuki. Effects of porosity on vacuum-vaporation of chromium oxide and thermodynamic treatments. «Егē кēкайси, Yogyo kyokaishi, J. Ceram. Soc. Jap.», 1976, 84, № 975, 578—583 (англ.; рез. япон.)

В интервале 1450—1750° методами Кнудсена (МК) и Ленгмиора (МЛ) исследован процесс испарения Cr₂O₃ (I). Пористость образцов I менялась в интервале $\varepsilon = 0,018—0,380$. Показано, что с ростом ε скорость испарения I в МЛ растет линейно, причем угол наклона уменьшается с ростом ε . При расчете скорости испарения предполагалось, что I в МЛ и МК испаряется по ур-нию I (тв.) $\rightleftharpoons 2\text{Cr}$ (газ.) + $3/2\text{O}_2$ (газ.) (1) или 8 I (тв.) = 11Cr (газ.) + 3CrO (газ.) + $2\text{Cr}_2\text{O}$ (газ.) + 3O_2 (газ.) + 11O (газ.) 2). Получены энталпии испарения I ΔH_{t^0} для МК по ур-нию (1) и (2) соотв. 340,4 и

дНв

Х, 1977, N10

364,7 ккал/моль, для МЛ по ур-нию (1) и (2) для $\varepsilon =$
 $=0,380; 0,300; 0,018$ соотв. 482,8 и 517,2; 490,9 и 525,9;
504,3 и 540,3 ккал/моль. Энтропии испарения ΔS_T^0 в
МК для (1) и (2) соотв. 86,87 и 100,62 э. е. в МЛ для
указанных ε по (1) и (2) соотв. 141,6 и 159,2; 144,7 и
162,6; 149,8 и 168,0 э. е. Общее ур-ние зависимости ско-
рости испарения при МЛ от T и ε имеет вид V (мкг/
см².сек⁻¹) = $5,19 \cdot 10^{10} \exp [(-1,4 \cdot 10^5 / RT) + 6,92 \cdot 10^{-3} \varepsilon \cdot$
 $\exp(1,84 \cdot 10^4 / RT)]$. Коэф. испарения I растет с ростом ε
и T и при экстраполяции достигает единицы в точке
плавления I.

М. В. Коробов

1976

Cr_2O_3

Pegmatite I. A

Beem. block. 4H-TA,
Xul. 1976; 17, N5,
617-18.

(H)



(all. Ti_2O_3 ; I)

Cr_2O_3

(C_p) J_{h}

ЗР. XVII-268)

1974

7

23 Б654. Удельная теплоемкость Cr_2O_3 вблизи температуры Нееля. Brice Richard H., Cappell David S. Specific heat of Cr_2O_3 near the Néel temperature. «Phys. Rev. B: Solid State», 1977, 15, № 9, 4451—4459 (англ.)

Методом двумерной т-рной волны в окрестности точки Нееля выполнены прессионные измерения уд. теплоемкости (C) монокристаллов одноосного антиферромагнетика ($T_N \approx 307^\circ \text{K}$) Cr_2O_3 , имеющего структуру типа корунда с ромбич. элементарной ячейкой. Установлено, что на кривой $C(T)$ в области $T \approx 307^\circ \text{K}$ наблюдается острый пик λ -типа, обусловленный антиферромагнитным фазовым переходом. Методом наилучшего сближения теор. и эксперим. значений C установлено, что вблизи

2. 1974 № 23

T_N крит. экспоненты α и α' совпадают и имеют величину — 0,12, характерную для гейзенберговских магнетиков. Отношение крит. амплитуд $A/A' = 0,56$ не согласуется с эксперим. результатами, известными для др. гейзенберговских магнетиков; однако, как показано, этот эффект не связан с изменением типа магнитных взаимодействий при переходе в магнитно упорядоченную фазу на сильно анизотропные. Обсуждается возможное влияние систематич. ошибок на значения крит. параметров, полученных из сравнения теории с экспериментом.

Ю. В. Ракитин

Cr_2O_3

39-XVII-2681

1977

(C_p)

87: 47305q Specific heat of chromium(III) oxide near the Neel temperature. Bruce, Richard H.; Cannell, David S. (Dep. Phys., Univ. California, Santa Barbara, Calif.). *Phys. Rev. B* 1977, 15(9), 4451-9 (Eng). Precise measurements of the specific heat of a uniaxial antiferromagnet Cr_2O_3 near the antiferromagnetic transition temp. are reported. Least-mean-squares anal. of the data yields Heisenberg-like exponents, $\alpha = \alpha' - 0.12$, but the amplitude ratio $A/4' = 0.56$ does not agree with exptl. results for Heisenberg systems. No indication of crossover to Ising-like behavior near the transition is obsd. A crit. discussion of the possible effects of systematic error in comparing theor. and exptl. results for the specific heats of magnetic systems is provided.

C. ST. 1977. 87 N6

1977

*Сг₂O₃**T_N*

16 Б1077. Магнитные фазовые границы вблизи от критической точки и точки Нееля в Сг₂O₃. Shapira Y., Вессегга С. С. Magnetic phase boundaries near the bicritical and Néel points of Сг₂O₃. «Phys. Rev.», 1977, B16, № 11, 4920—4935 (англ.)

Магнитная фазовая диаграмма антиферромагнетика Сг₂O₃ изучена в полях напряженностью до 180 кэ. Фазовые превращения фиксировались по аномальному поглощению продольных УЗ-волн с частотами 30 и 50 МГц. Точность измерения температуры составляла $\sim 10^\circ$ мК, что соответствует отношению $\Delta T/T_c \sim 3 \cdot 10^{-5}$. Т-ра Нееля $T_N = 307,3$ К. Бикрит. точка имеет параметры $T_b = T_N - (0,505 \pm 0,01)^\circ$ К, $H_b = 120,04 \pm 0,6$ кэ. Строение фаз вблизи бикрит. точки анализировалось с помощью теории среднего поля и теории Фишера—Нельсона—Коштерлица. Последняя дает хорошее совпадение с эксперим. результатами.

В. В. Чернышов

Х, 1078, N16

1977

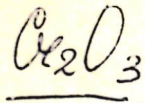
Cr₂O₃

T_{tr}

88: 114369z Magnetic phase boundaries near the bicritical and Neel points of chromium(III) oxide. Shapira, Y.; Becerra, C. C. (Francis Bitter Natl. Magnet Lab., Massachusetts Inst. Technol., Cambridge, Mass.). *Phys. Rev. B* 1977, 16(11), 4920-35 (Eng). The magnetic phase diagram of the easy-axis uniaxial antiferromagnet Cr₂O₃ was measured in magnetic fields $H \leq 180$ kOe. Phase transitions were detd. from anomalies in the attenuation of 30- and 50-MHz longitudinal ultrasonic waves. Temps. T were measured with a precision of ~ 10 mK, corresponding to $\Delta T/T \sim 3 \times 10^{-5}$. Attention was focused on the phase boundaries near both the Neel point ($T_N = 307.3$ K) and the bicrit. point [$T_b = T_N - (0.505 \pm 0.01)$ K, $H_b = 120.04 \pm 0.6$ kOe]. Data were taken for H parallel to the easy axis, perpendicular to the easy axis, and for some intermediate orientations. Near the bicrit. point, the phase boundaries in the $T - H_{\parallel} - H_{\perp}$ space (where \parallel and \perp indicate parallel and perpendicular to the easy axis, resp.) show marked deviations

C.A. 1978, 88, N16

1977



Захарова Т. И. и др.

M. чулан. хим. 1977, 50,
N4, 762-5.

(ΔH_{298} , кг)
 ΔS)
($\text{CaO} \cdot \text{SiO}_2$, I)

Cr_2O_3

NiO

(T_N)

1978

91: 203263q Magnetic susceptibility of chromium(III) oxide and nickel oxide in the region of the Neel temperature. Napijalo, M. L.; Sreckovic, A.; Novakovic, L. (Dep. Phys. Metcorol. Sci., Fac. Nat. Sci., Belgrade, Yugoslavia). *Fizika (Zagreb)* 1978, 10(Suppl. 2), 169-74 (Eng). The magnetic susceptibilities of high-purity Cr_2O_3 and NiO powders were measured between the ranges of antiferromagnetic-paramagnetic transition to study the behavior of phase transition of the magnets. The temp. dependence curves of the susceptibilities are described and a graphic procedure for detg. the Neel temp. T_N of the polycryst. sample by using the curves are suggested. By using this method, the T_N for Cr_2O_3 and NiO are 307 ± 0.2 and 522 ± 0.2 K, resp.

(+)

☒



P-A 1649 G1 N24

$\text{Cr}_2\text{O}_3(\kappa)$

Commerca 12739 | 1978.

Sata T., et al

(P) Proc. Intern. Sympos.
of Factors Densification
and Sintering of Oxide
and non-oxide Ceramics,
1978, Japan, p. 182 - 187

$\text{Cr}_2\text{O}_3(\text{k})$ [Lommel 12737] 1978.

Sata T., et al.

(P) Rept Res. Laboratory
of Engineering Materials,
1978, N3, 41-52

Cr_2O_3

1979

Henriksen A.J. et al.

Ceramurgik Et. 1979, 5(1),
11-17.

(Hsol)



est. $\text{Sc}_2\text{O}_3 - \text{I}$

Cr_2O_3

Kay D. A.R.

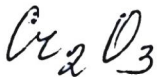
1979

(SHF)

Rev. Int. Hautes. Temp.
Refract., 1979, 16(1),
21-32.

(cur. Al_2O_3 ; \bar{I})

1979



46f

✓ 94: 21341t Measurement of Gibbs free energy using dual electrochemical cells. Khan, G. M.; Saleem, M.; Butt, P. K. (Dep. Chem., Quaid-i-Azam Univ., Islamabad, Pak.). *Islamabad J. Sci.* 1978, 5(1-2), 14-18 (Eng). Dual electrochem. cells were used to det. the std. Gibbs free energy of Cr_2O_3 at high temps. The emfs. agree with previous studies. Dual electrochem. cells help to reduce some of the uncertainties assocd. with the results obtained from conventional electrochem. cells.

C.A. 1981. 94 n 4

Cr_2O_3

1979

Монолит Т.К. ягг.

(~~Те~~, 9, 145, 150) Докт. дисс., 1979

разновеси
непреход

246(3), 636-8

xc-ray (crys. CaO ; I)

Ca_2O_3
 $(\text{P}, \text{SHo},)$
 (S, Sr)

1979

Sata T., et al.

Rev. Int. Hautes Temp.

Refract. 1978, (Pub 1979)
15(3) 237-48

coll. Mg O-I

Cr_2O_3

1980

крупнозернистый

Finger L. W. et al.

J. offical. Phys., 1980, 51,
Nо, 5362 - 8

coll. Fe_2O_3 -I

Cr_2O_3

(T_{tr}).

1980

Ismailzade Y. H.
et al.

J. Magn. and Magn.
Mater., 1980, 22, N1,
125-127.

($\text{Cu} \bullet \text{La}_2\text{Fe}_3$; $\bar{\gamma}$).

Cr_2O_3

1980

Rüegg K. et al

T_{tr}

J. Magn. and Magn.

Mater., 1980, 15-18, Part 2
669-70



Cue d- Fe_2O_3 ; I

$\text{Cr}-\text{Cr}_2\text{O}_3$

1980

Volkov S.N., et al.

Zavod. Lab. 1980, 46(10),
916-7.

m. ges.
cb-ba

ex. Ni-Ni₂O₃

1981

Cr₂O₃(мессбауэр
спектр)*T₁*

⊗ +1

22 Б799. Комбинированное магнитное сверхтонкое и квадрупольное взаимодействие для примесных ионов $^{119}\text{Sn}^{2+}$ в Cr_2O_3 . Fabritchnyi P. B., Protsky A. N., Gorkov V. P., Demazeau G., Hagenmüller P. Interactions magnetiques hypersimes et quadrupolaires combinées pour les ions d'impuretés $^{119}\text{Sn}^{2+}$ dans Cr_2O_3 . «Mater. Res. Bull.», 1981, 16, № 4, 429—435 (франц.; рез. англ.)

Соосаждением гидроокисей Сг и Sn с послед. термообработкой продукта получены поликрист. образцы Cr_2O_3 , содержащие 0,2—5% примесных ионов $^{119}\text{Sn}^{2+}$. Для этих, образцов при т-рах 77—310 К исследованы мессбауэровские спектры ^{119}Sn . Установлено, что выше т-ры антиферромагнитного упорядочения Cr_2O_3 ($T_N = 308 \text{ K}$) в спектре наблюдается квадрупольный дублет с расщеплением $\Delta = 2,08 \pm 0,04 \text{ mm/c}$ и хим. сдвигом (относительно BaSnO_3) $\epsilon = +0,73 \pm 0,02 \text{ mm/c}$. При низ-

x. 1981 № 22, 19 А5

ких т-рах наблюдается сложный спектр, обусловленный одновременным наличием магнитного сверхтонкого и квадрупольного взаимодействий, к-рые при 77 К одного порядка величины. В результате анализа спектров при 77 К найдены след. значения параметров: индуцированное сверхтонкое поле $H(\text{Sn}^{2+}) = 38 \pm 1$ кЭ, константы квадрупольного взаимодействия $eV_{zz}Q = +3,6 \pm 0,3$ мм/с, параметр асимметрии $\eta = 0,15 \pm 0,05$, полярный (θ) и азимутальный (ϕ) углы $\theta \approx \phi \approx 90^\circ$, хим. сдвиг $\delta = +2,89 \pm 0,02$ мм/с. Показано, что ионы Sn^{2+} локализованы на Пв зерен Sr_2O_3 . В. М. Новоторцев

fects

Сr₂O₃

1981

24 Б713. Исследование электропроводности полутораной окиси хрома. Тавадзе Ф. Н., Микадзе О. И., Булия Б. П., Гильдерман В. К., Земцов В. И., Неуймин А. Д., Пальгуев С. Ф. «Сакартвелос ССР Мицниеребата Академинис моамбе, Сообщ. АН ГрузССР», 1981, 102, № 2, 361—364 (рез. груз., англ.)

При т-рах 1000—1200° и парц. давл. O₂ 10⁻⁶—1,0 атм 4-зондовым методом на постоянном токе измерена электропроводность (σ) Cr₂O₃ (I). Показано, что с повышением парц. давл. O₂ в исследованном т-рном интервале наблюдается слабый рост σ для I. На основании полученных данных сделан вывод, что в I в области высоких т-р ($T > 1000^\circ$) возрастает роль собственной электронной проводимости, хотя I и является полупроводником p-типа.

Л. А. Драгнева

Электропровод

X. 1981, 19, № 24.

$\text{Cr}_2\text{O}_3(\text{K})$

[OM. 24246]

1982

Madan B.S., Sreedha-
yan O. et al., et al.,

Proceedings of the Sympo-
sium on High temperatu-
re chemistry, 1982,
149-155.

Cr_2O_3

1982

Khilla M.A., Hanafi
Z.M., et al.

Spec.-XRD.

cb-la · *Theor. Acta*,
1982, 59, N2, 139-147.

(cees. Cr_2O_3 ; I)

$\text{Cu}_2\text{O}_3(\text{k})$

or. 24246

1882

Cp.

Madan B.S., Sreedharan O.M.
et.al.

Proceedings of the Symposium on
High temperat. chemistry, 1882, p.149

Cr₂O₃

1982

1983: 78877j The chromium-chromium(III) oxide system. Rand,
M. H. (AERE, Harwell/Didcot/Oxon., UK). Comm. Eur. Communities,
[Rep.] EUR 1982, EUR 7820, Pt. 2, 13-1/13-6 (Eng). A review
on the Cr-O system, the thermodn. properties of Cr_xO₃, and the solv.
of O in Cr. 33 Refs.

memogut -

cb - ba

C.A. 1983, 98, N10.

$\text{Cr}_2\text{O}_3(\text{K})$ = 1982

~~Pan~~ Kratz L.B.

Thermodynamic Properties
(298-2000) of Elements and Oxides
JSA Ber. Münch. Bull. 672

● (Gellegbegezher)

Слдз

1983

24 В7. Высокотемпературное поведение сульфида и оксида хрома (III) в расплавах полифосфатов. Новикова Е. В., Кочергин В. П., Щеврина З. А., Кузнецова Н. Г.; Урал. ун-т. Свердловск, 1983. 9 с., ил. Библиогр. 6 назв. (Рукопись деп. в ОНИИТЭХИМ г. Черкассы 18 июля 1983 г., № 732хп—Д83.)

В процессе взаимодействия сульфида хрома (3+) с полифосфатами натрия и калия при 1173—1273 К в атмосфере азота выделяются сероводород, элементарная сера и ее диоксид. Обнаружено увеличение конц-ии серусодержащих продуктов взаимодействия в газовой фазе с повышением т-ры и времени выдержки расплавов. Методами БХ и хим. анализа установлено, что сульфид-хрома деструктирует полимерные цепи фосфатов до орто-, пиро- и триполи-, а оксид-хрома (3+) — до орто- и триполифосфатов. При этом сульфид-хрома (3+) восстанавливает полифосфаты до фосфидов хрома.

(4) Автореферат

X. 1983, 19, N24

Слдз

Грэх

1984

6 Б3137. Отклонение от стехиометрии в Cr_2O_3 при высоких парциальных давлениях кислорода. Deviation from stoichiometry in Cr_2O_3 at high oxygen partial pressures. Greskovich C. «J. Amer. Ceram. Soc.», 1984, 67, № 6, С 111—С 112 (англ.)

С помощью тензиволюметрич. метода измерено отклонение от стехиометрии δ в $\text{Cr}_{2-\delta}\text{O}_3$ (I) в области давл. $\text{O}_2 \sim 10^1 - 10^4$ Па при 1100°C . В экспериментах использовали порошок Cr чистотой 99,999% (примеси Mg, K и Na 1—3 млн. д.). Установлено, что величина δ (конц-ия вакансий соотв.) составляет $\sim 9 \cdot 10^{-5}$ моль/моль I на воздухе. Рассчитаны коэф. хим. диффузии \bar{D} при 1100°C и давл. $\text{O}_2 2,2 \cdot 10^1$ Па и коэф. самодиффузии ионов Cr, равные $\sim 4,6 \cdot 10^{-12} \text{ см}^2/\text{с}$ и $\sim 1,6 \cdot 10^{-17} \text{ см}^2/\text{с}$ соотв., значения к-рых хорошо согласуются с лит. данными.

Л. Г. Титов

X. 1985, 19, N 6

С.М.З

1984

17 Б3068. Влияние добавок TiO_2 на окисление Cr_2O_3 в системе из мелкодисперсных оксидов $Al_2O_3-Cr_2O_3$. Викторов В. В., Гладков В. Е., Фотиев А. А., Ивашинников В. Т. «Изв. АН СССР. Неорган. материалы», 1984, 20, № 4, 686—688

Методами магнетохим. и химич. анализов исследованы колич. закономерности окисления Cr_2O_3 в мелкодисперсной системе оксидов Al_2O_3 (≥ 97 вес.%)— Cr_2O_3 (≤ 3 вес.%)— TiO_2 (≤ 3 вес.%) при т-ре. $600^\circ C$ в атмосфере воздуха. С помощью метода планирования эксперимента применительно к диаграммам «состав—св-во» построены диаграммы; исходный оксидный состав — эффективность взаимодействия — содержание ионов Cr^{6+} в системе.

Автореферат

X. 1984, 19, N 17

Cr_2O_3

1984

Yu Ruihuang.

T_m , T_f ,

Jieguo Huaxue 1984,
3 (3), 193 - 209.

(c.c.s. Cr_2O_3 ; I)

1985

Cr₂O_{3+x}

11 Б3084. Существование гипостехиометрического полуторного оксида хрома при низких парциальных давлениях кислорода. Existence of hypostoichiometric chromium sesquioxide at low oxygen partial pressures. Matsui T., Naito K. «J. Nucl. Mater.», 1985, 136, № 1, 78—82 (англ.)

Методом ТГА в обл. парц. давл. $O_2 10^{-15} \leq p_{O_2}$, в Па $\leq 10^5$ и т-р $1173 \leq TK \leq 1318$ изучено нестехиометрич. соединение $\underline{Cr_2O_{3+x}}$. Величины p_{O_2} регулировались добавлением H_2 и CO_2 . Величина отклонения x от стехиометрии в гиперстехиометрич. обл. $< +2 \cdot 10^{-4}$ (независимо от т-ры). При $p_{O_2} 10^{-5}$ Па установлено существование гипостехиометрич. фазы $\underline{Cr_2O_{3-x}}$ ($x \leq 0,05$). При этом зафиксированы две обл. составов: с $x < 0,0015$, где дефекты структуры связаны с внедрением нейтр. атомов Cr в решетку и обл. с $0,0015 \leq x \leq 0,005$ с дефектами, вызванными внедрением Cr^{+3} . Сложная зависимость от состава величин мол. парц. энтальпии и энтропии O_2 в Cr_2O_{3-x} подтверждает изменение вида превалирующего дефекта структуры Cr_2O_{3-x} .

Л. В. Шведов

x, 1986, 19, № 11

Cygnus (k) [85 Cha / DAV] 1985
JANAF

T.G. III 1985 c.p. 940

аллергия ; неизвест 1973

Балыкчиевым ил. 21.,
1986

Автореферат диссертации
на соискание ученой степе-
ни кандидата геолого-разведоч-
ных наук К. Георгиевна Басык,
Москва, 1986.

Cr₂O₃

1986

✓22 Б3089. Состав пара над оксидом хрома Cr₂O₃. Энталпии образования молекул Cr₂O, Cr₂O₂ и Cr₂O₃. Милушин М. И., Назаренко И. И. «11 Всес. конф. по калориметрии и хим. термодинам., Новосибирск, 17—19 июня, 1986. Тез. докл. Ч. 1». Новосибирск, 1986, 120—121

Эффузионным методом Кнудсена с масс-спектрометрич. регистрацией в паре над Cr₂O₃ обнаружены Cr₂O (I), Cr₂O₂ (II) и Cr₂O₃ (III), давл. к-рых на неск. порядков меньше, чем Cr, CrO (IV) и CrO₂ (V). При 1997—2224 К измерены константы газофазных равновесий $2\text{IV} = \text{I} + \text{O}$, $\text{V} + \text{Cr} = \text{I} + \text{O}$, $\text{V} + \text{IV} = \text{II} + \text{O}$ и $2\text{V} = \text{III} + \text{O}$, для к-рых по 3-му закону вычислены $\Delta_f H^\circ \text{O} = 147,2 \pm 14$, $237,1 \pm 15$, $78,9 \pm 16$ и $132,5 \pm 23$ кДж/моль. Для образования газ. I—III найдены $\Delta_f H^\circ \text{O} = 273,1 \pm 14$, $-89,1 \pm 19$ и $-326,8 \pm 25$ кДж/моль. Для их атомизации $\Delta_{at} H^\circ \text{O} = 763,7 \pm 14$, $1372,7 \pm 19$ и $1857,2 \pm 25$ кДж/моль; Пт ионизации составили соотв.: $6,8 \pm 0,5$, $7,6 \pm 0,5$ и $8,8 \pm 0,5$ эВ.

А. С. Гузей

(42)

X. 1986, 19, N 22

Cr₂O, Cr₂O₂

1987

Gr2O3

10 Б3031. Высокотемпературное термодинамическое исследование восстановления Cr_2O_3 графитом. High temperature thermodynamic study of the reduction of Cr_2O_3 by graphite. Ouensanga A. «Z. Metallk.», 1987, 78, № 1, 70—72 (англ.; рез. нем.)

В интервале т-р 1090—1390 К измерены равновесные давл. CO над смесями $\text{Cr}_2\text{O}_3+n\text{C}$ в области исходных составов $0 < n < 5$. Изотермич. зависимости p_{CO} от O/C показывают практически полную стехиометрию фаз Cr_2O_3 и Cr_3C_2 (I). Из т-рной зависимости плато давл. 4-фазной области $\text{Cr}_2\text{O}_3 - \text{I} - \text{C} - \text{CO}$ для р-ции $\text{Cr}_2\text{O}_3 + 13/3\text{C} \rightarrow 2/3 \text{I} + 3\text{CO}$ получено $\lg p_{\text{CO}} (\text{бар}) = -12712/T + 9,176$, откуда $\Delta_f G (\text{I}) = -76150 - 19,45$ Дж/моль и по 3-му закону $\Delta_f H (\text{I}, 298 \text{ K}) = -88 \pm 4$ кДж/моль.

А. С. Гузей

$K_p, \Delta f G$

X. 1987, 19, N 10.

Гадз

1987

23 Б3153. Испарение оксида хрома и хромита лантана в окислительных средах. Тавадзе Ф. Н., Микадзе О. И., Дзиндзибадзе Т. Г., Гильдерман В. К., Рухадзе Л. Н. «Сообщ. АН ГССР», 1987, 126, № 2, 333—336 (рез. груз., англ.)

Термогравиметрически изучено испарение Cr_2O_3 (I) и LaCrO_3 (II) на воздухе при т-рах 1100—1400° С. Предыстория образцов I и II оказывает заметное влияние на скорость испарения, к-рая для оксидов, синтезированных и спеченных на воздухе, относительно высока, особенно на начальных стадиях, а для отожженных образцов постоянна и приближается к скорости испарения образцов спеченных в вакууме. Показано, что формирование летучего субоксида CrO_3 при высоких т-рах может влиять на кинетику окисления сплавов, образующих окалину, содержащую I, и следовательно, возникает необходимость коррекции окислите. данных на испарение, к-рую надо проводить при $T > 1250^\circ \text{C}$ в течение 20—50 час.

А. Л. М.

X. 1987, 19, N 23

Crd₃

Om. 32212

1988

Crd₂

Crd₃

Kp, ucrane- et al.,

Hue High Temp. - High

Pressures 1988; 20, N6,

643-652

Cr_2O_3 1988
Pak V.M., Serov F.V.,
et al.

Mepleog.
Chalcocite
Rasplavy 1988,
2 (5), 21-8.

(FeO ; I)

Годы

1988

(аморф.)

Reznitskii I.A., Filipova S.E. et al.,

(Дж)

Изв. Акад. Наук СССР,
Неorg. Матер 1988, 24

(9), 1540 - 6.

C.A. 1988, 109, N26, 242891C

Cr_2O_3 1989
Gorokhov Y. N., Emelyanov A. M. et al.

Kp, 1H Adv. Mass Spectrom.:
Vol. 11 B. Proc. 11th Int.
Mass Spectrom Conf., Bordeaux,
29 Aug - 2 Sept.,
1988. London, 1989. C. III C-

1111.
(C₁₂H₂O; I)

Cr_2D_3

Om. 32338 /

1989

Huczko A., Neubus P.,

(kp)

Z. Phys.-Chem. (DDR),
1989, 270, N3, 561-568



Cr₂O₃

1989

(испарение)

9 И104. Массовые потоки при испарении Cr_2O_3 или $\text{Fe}_2\text{O}_3 - 2\text{Cr}_2\text{O}_3$ в зависимости от температуры твердой фазы в потоке кислорода или жидкой — в воздухе. Анализ их поведения и оценка парциального давления CrO_3 . Flux massiques de vaporisation de Cr_2O_3 ou du melange $\text{Fe}_2\text{O}_3 - 2\text{Cr}_2\text{O}_3$ en fonction de la temperature a l'etat solide dans un ecoulement d'oxygene, ou a l'etat liquide dans l'air. Analyse des comportements en estimation des pressions partielles de CrO_3 / Berjoan R., Badié J. M., Peraudeau G. // Entropie. — 1989. — 25, № 146—147. — С. 47—53. — Фр.; рез. англ., нем., исп.

Экспериментально исследуется массоперенос в указанных системах цилиндрической геометрии с псевдоконгруэнтным испарением твердых образцов в зависимости от т-ры (в интервале 1600—2000 К) и расхода «чистого» кислорода. В результате удается представить массовый поток исходной компоненты Cr_2O_3 как линейную ф-цию.

φ. 1989, № 9

от квадратного корня из числа Рейнольдса и получить оценку парциального давления образующейся окиси CrO_3 . В системах с испарением расплавленных капель аналогичного состава массовые потоки компонент изменились в «фокусе» двухкиловаттной солнечной печи, при этом обнаружена их пропорциональность площади капель, уменьшающейся в процессе испарения. В. Г.



Cr_2O_3

1989

Иркутск - Иркутское

B.E.

4 Hf
Бакан-
ское.

14 Июня 1989 г. Взято №
одис. в преск. скважин;
Ряд. 90 км. и содис. Т.2.
и., 1989. с. 165.

(аэ. ZrO_2 ; I)

RAB3

1990

114: 70094c Evaluation of the standard Gibbs energies of formation of oxides by third law analysis. Iwase, Masanori;

Fujiwara, Hiroyasu (Fac. Eng., Kyoto Univ., Kyoto, Japan 606).
Saiyokaishi 1990, 21(4), 247-50 (Japan). The third law method
was used to check the reliability of 17 free energy $G^\circ(T)$ expressions
hitherto presented for the formation of Cr_2O_3 and to derive the most
reliable one. The reliability test based on the third law method
~~makes~~ ^{requires} the requirement that the enthalpy $H^\circ(298 \text{ K})$ is
independent of measurement temps. for $G^\circ(T)$ when measurement
was made accurately. This requirement was fulfilled in 3 cases,
which led to the expression $G^\circ(\text{cal/mol}) = -266,670 + 59.89T (\text{°K})$.

I. Matsuzaki

($\Delta f, \Delta H$)

c.A.1991, 114, N 8

Люб

1993

5 Б3146. Растворимости Cr_2O_3 и SiO_2 в [расплавах] $\text{Na}_2\text{SO}_4-\text{K}_2\text{SO}_4-\text{Fe}_2(\text{SO}_4)_3$ при 963 К. Solubilities of Cr_2O_3 and SiO_2 in $\text{Na}_2\text{SO}_4-\text{K}_2\text{SO}_4-\text{Fe}_2(\text{SO}_4)_3$ at 963 K /Leblanc Patrick P., Rapp Robert A. //J. Electrochem. Soc. —1993 .—14 № 3 .—С. L41—L43 .—Англ.

С использованием электрода сравнения для индикации к-тности тройного сульфатного расплава (TCP: $\text{Na}_2\text{SO}_4-\text{K}_2\text{SO}_4-\text{Fe}_2(\text{SO}_4)_3$ в соотношении 71:18:11 мол.%) определены р-римости в нем оксидов Cr_2O_3 и SiO_2 при различных к-тностях, выраженных через давл. паров SO_3 , и т-ре 963 К. Основной формой р-ренного Cr является хромат-ион CrO_4^{2-} и р-римость Cr в данном TCP в 6 раз превышает р-римость в чистом Na_2SO_4 и растет с к-тностью. Р-римость SiO_2 в TCP не зависит от к-тности и втрое выше, чем в расплаве сульфата Na при 1200 К.

Л. В. Арсеенков

Растворы —
МОСМВ

Х. 1994, N5

Cr2O₃(s)

Om 32325

1993

118 261819e Thermodynamics of gas phase chromium species. The chromium oxides, the chromium oxyhydroxides, and volatility calculations in waste incineration processes. Ebbinghaus, Bartley B. (Lawrence Livermore Natl. Lab., Univ. California, Livermore, CA 94551 USA). *Combust. Flame* 1993, 93(1-2), 119-37 (Eng) The thermodn. of 3 gaseous Cr oxides and 12 gaseous Cr oxyhydroxides are assessed for application to Cr volatility calcns. in waste incineration processes. For the oxyhydroxides, the thermodn. properties, $S^\circ(298)$, $H^\circ(298) - H^\circ(0)$, $-(G^\circ(T) - H^\circ(298))/T$, and C_p° are calcd by the mol. const. method using estd. mol. parameters. The enthalpies of formation, $\Delta H^\rho(298)$, of the Cr oxides and Cr oxyhydroxides are detd. either from vapor pressure data when available or from bond energy correlations which use available data on the gaseous Cr oxyhalides. The thermodn. consts., $S^\circ(298)$, $\Delta H^\rho(298)$ and $H^\circ(298) - H^\circ(0)$, are tabulated for all 15 gaseous species. Likewise, the thermodn. function, $-(G^\circ(T) - H^\circ(298))/T$ and $C_p^\circ(T)$ are given in polynomial form as a function of temp. for $\text{Cr}_2\text{O}_3(\text{s})$ at 298 - 1000 K and 1000 to 3000 K. Equil. vapor compns. of $\text{Cr}_2\text{O}_3(\text{s})$ at fixed partial pressures of O (0.10 atm) and H_2O (0.10 atm) and temps. at 800 - 1600 K show that $\text{CrO}_2(\text{OH})_2(\text{g})$ is the dominant vapor species with small contributions from $\text{CrO}(\text{OH})_3(\text{g})$, $\text{Cr}_2\text{O}_3(\text{OH})_2(\text{g})$, and $\text{CrO}(\text{OH})_2(\text{g})$.

C.A. 1993, 118, N26

$\text{CrO}_2(\text{OH})_2(\text{g})$, OK 112 and 244

$$\frac{S_{298}^{\circ}, H_{298}^{\circ} - H_{298}^{\circ}}{T}$$

Ⓐ (42)

Cr₂O₃

1993

121: 214314w Photopyroelectric study of specific heat, thermal conductivity, and thermal diffusivity of Cr₂O₃. Marinelli, Massimo; Zammit, Ugo; Mercuri, Fulvio; Scudieri, Folco; Pizzoferrato, Roberto; Dadarlat, Dorin (Dip. Ingengneria Meccanica, 2° Univ. Roma "Tor Vergata", Rome, Italy). *High Temp. - High Pressures* 1993, 25(4), 417-20 (Eng). A high-resoln. photopyroelec. technique was used to simultaneously measure the crit. behavior of sp. heat, thermal cond., and thermal diffusivity in the vicinity of the antiferromagnetic-paramagnetic phase transition of Cr₂O₃. Crit. exponents for these quantities were evaluated and compared with theor. predictions. A method for the abs. detn. of the thermal diffusivity is also reported.

(Cp)

c.a.1994, 121, N 18

Frans

1994

122: 275375j Photoacoustic and photopyroelectric investigation of the antiferromagnets CoO and Cr₂O₃ in the neighborhood of the Neel temperature. Glorieux, C.; Caerels, J.; Thoen, J. (Departement Natuurkunde, Katholieke Universiteit Leuven, 3001 Leuven, Belg.). *J. Phys.* IV 1994, 4(C7 8th International Topical Meeting on Photoacoustic and Photothermal Phenomena, 1994), 267-70 (Eng). The crit. behavior of the dynamic and static thermal properties are investigated in the neighborhood of the Neel temp. of single crystals of antiferromagnetic CoO and Cr₂O₃. Photoacoustic front and pyroelec. rear detection of front illumination induced temp. oscillations are used to det. crit. exponents and amplitudes of the sp.-heat capacity anomaly. Simultaneously measured thermal cond. data are also presented.

G.R. Attila

MLT

① 60
X



C.A. 1995, 122, N22

Cr_2O_3

1994

122: 275374h Photopyroelectric study of the thermal parameters of antiferromagnets at the Neel temperature. Marinelli, M.; Mercuri, F.; Zammit, U.; Pizzoferrato, R.; Scudieri, F.; Dadarlat, D. (Dipartimento di Ingegneria Meccanica - II, Universita di Roma "Tor Vergata", 00173 Roma, Italy). *J. Phys.* IV 1994, 4(C7 8th International Topical Meeting on Photoacoustic and Photothermal Phenomena, 1994), 261-6 (Eng). High resoln. measurements were made by applying the photopyroelec. technique in order to study the static and dynamic crit. behavior of the thermal parameters of the two antiferromagnets Cr_2O_3 and FeF_2 close to the Neel temp. Sp. heat, thermal diffusivity and thermal cond. of each compds. were simultaneously measured in the crit. region of the second order antiferromagnetic-paramagnetic phase transition. Crit. exponents and the crit. amplitude ratios of sp. heat and thermal diffusivity have been detd. Single-crystal Chromium samples for which the antiferromagnetic-paramagnetic phase transition is first order were also studied. The effect of thermal annealing on the signal amplitude and phase in the vicinity of the transition was reported.

$C_p \propto g_T$

(A) 12

C.A. 1995, 122, N22



FeF_2 ($C_p \propto g_T$)

1996

F: Cr₂O₃

P:

7Б2216. Электронная, магнитная и кристаллическая структура Cr₂O₃ по данным теоретических методов.
Electronic, magnetic and crystal structure of Cr₂O₃ by theoretical methods / Catti M., Sandrone G., Valerio G., Dovesi R. // J. Phys. and Chem. Solids. - 1996. - 57, 11. С. 1735-1741. - Англ.

Ред

1996

24 Б3199. Внешнее квадрупольное магнитное поле антиферромагнитного Cr_2O_3 / Астров Д. Н., Боровик-Романов А. С., Ермаков Н. Б., Колеватов Е. Г., Нижанковский В. И. // Письма в ЖЭТФ. — 1996. — 63, № 9 - 10. — С. 713—718. — Рус.

Приводятся результаты экспериментального изучения внешнего магнитного поля монокристалла антиферромагнитного Cr_2O_3 , надежно подтвердившие, что это поле соответствует полю магнитного квадруполя. Величина квадрупольного момента образца оказалась в несколько раз меньше расчетных предсказаний.

(Tz2)

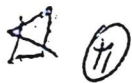
X. 1996, N 24

128

1667

measured
as - 1114
cm⁻¹
chose
helpful

128: 185238m Standard free energy change of formation per unit volume: a new parameter for evaluating nucleation and growth of oxides, sulfides, carbides and nitrides. He, Yedong; Li, Zhengwei; Qi, Huibin; Gao, Wei (Corrosion and Protection Centre, University of Science and Technology Beijing, Beijing, Peop. Rep. China 100083). *Mater. Res. Innovations* 1997, 1(3), 157-160 (Eng), Springer-Verlag. The present paper introduces a thermodn. parameter, the std. free energy changes of formation of oxide, sulfide, carbide and nitride per unit vol., as a criterion for comparing the formation tendency of these compds. The diagrams for the std. free energy change of formation of common oxides, sulfides, carbides and nitrides per unit vol. vs temp. have been calcd. and established based on the available thermodyn. data. It is believed that these diagrams can provide better explanations to some oxidn. phenomena including the effects of reactive elements on the selective oxidn. of Cr_2O_3 and Al_2O_3 .



C.A. 1998, 128, N15

1994

F: Cr₂O₃

P: 1

1Б2388. Энергии связей металл-кислород и температуры кристаллизации аморфных оксидов металлов / Резницкий Л. А., Филиппова С. Е. // Вестн. МГУ. Сер. 2. - 1997. - 38, 2. - С. 132-133.
- Рус.

Установлена линейная зависимость между температурами кристаллизации аморфных оксидов Fe₂O₃, Cr₂O₃, ZrO₂, TiO₂ и энергиями связей металл-кислород.

Al_2O_3

1998

Reznitskii L.A.,

Zh. Fiz. Khim. 1998,
72(9), 1550-53

Изм.
26-80

(cell - Al_2O_3 ; ?)

Catal. sp

1998

Ball J.W., Nordstrom D.K.,

meuroxum. J. Chem. Eng. Data 1998,
Garrett 43(6), 895-18

C.A. 1998, 129, N25, 33628/u

1998

F: Cr₂O₃

P: 1

11Б2268. Критическое поведение теплоемкости малых магнитных частиц Cr₂O₃. Муртазаев А. К., Камилов И. К., Алиев Х. К., Хизриев К. Ш. // Физ. тверд. (С.-Петербург). - 1998. - 40, 9. - С. 1661-1662. - Рус.

Методом Монте-Карло исследовано критическое поведение теплоемкости малых магнитных частиц реального антиферромагнетика Cr₂O₃[3]. Рассчитаны критические индексы 'альфа'=-0.17'+-'0.03 и отношение критических амплитуд A/A'=1.03'+-'0.07 для частиц, содержащих от N=286 до 2502 спинов. —

Cr_2O_3 (K)

1999

130: 203972u Critical behavior of the heat capacity of small magnetic Cr_2O_3 particle. Murtazaev, A. K.; Kamilov, I. K.; Aliev, Kh. K.; Khizriev, K. Sh. (Inst. Fiz., Dagestan. Nauchn. Tsentr, RAN, Makhachkala, Russia 367003). *Fiz. Tverd. Tela (S.-Peterburg)* 1998, 40(9), 1661–1662 (Russ), Nauka. The Monte-Carlo method was used to study the crit. behavior of the heat capacity of small antiferromagnetic Cr_2O_3 particles. The results agree with exptl. observations.

(G)

C.A. 1999, 130, N15

1999

F: Cr2O3

P: 1

131:152824 Critical properties of the model of
antiferromagnet Cr2O3. Murtazaev, A. K.
(Institute of Physics, Dagestan Science Center, Russian
Academy of Sciences, Makhachkala 367003, Russia). Low
Temp. Phys., 25(5) 350 (English) 1999 The crit.
properties of the model of real antiferromagnet Cr2O3
are studied by the Monte Carlo method. The static crit.

exponents .alpha., . and .gamma. are calcd. for systems with periodic boundary conditions cont 500-4000 spins. The values of crit. exponents, the type of crit. behavio crossover effects a considerable extent by the relation between the inter and anisotropy consts. The results are compared with the theor. data and the results of lab. studies of Cr₂O₃. The crit. parameters calcd. by approximating the data by traditional exponential functions are compared the values obtained on the basis of the finite-size scaling theory.

Cr_2O_3

2000

Gmelin E. u. d.

American Mineralogist,

2000, v. 85, N 11-12, p. 1686-1693

$$\delta_{\text{XSS}} = 82.8 \pm 0.8 \text{ } \text{‰}$$

Cr₂O₃

Om. 49372

2001

9

49372

(6)

135: 98047z Heat Capacity of a Cr₂O₃ Antiferromagnet near the Critical Temperature. Murtazaev, A. K.; Abdulvagidov, Sh. B.; Aliev, A. M.; Musaev, O. K. (Institute of Physics, Dagestan Scientific Center, Russian Academy of Sciences, Makhachkala, Dagestan, Russia 367003); *Phys. Solid State* 2001, 43(6), 1103–1107 (Eng), MAIK Nauka/Interperiodica Publishing. The heat capacity of a Cr₂O₃ antiferromagnet near the crit. temp. is precisely measured by ac calorimetry. The crit. behavior of the heat capacity is examd. The regularities of variations in the universal crit. parameters near the crit. point are detd., and their values are calcd. A crossover from the Heisenberg ($n = 3$) to the Ising ($n = 1$) crit. behavior is revealed.

C. R. 2001, 135, 17.

Cr₂O₃ + UO₂ Om 42 376° 2003

Leenaers A., Tollenaere L., Delafay Ch.,

Van den Berghe S.

On the solubility of Cr₂O₃ & UO₂ - compounds

J. Nucl. Mater., 2003, T. 317, p. 62-68

Cr₂O₃

F: MnO(насыщ.) - MnO*Cr₂O₃, MnO +1

P: 1

ΔG_f°
2003

04.02-19Б3.7. Стандартная энергия Гиббса образования твердого раствора MnO(насыщ.)-MnO*Cr₂O₃ при 1873 К. Standard Gibbs free energy of forma of MnO-saturated MnO*Cr₂O₃ solid solution at 1873 K / Tanahashi Mitsu Furuta Nobuo, Taniguchi Tsuyoshi, Yamauchi Chikabumi, Fujisawa Toshiharu ISIJ Int. - 2003. - 43, N 1. - С. 7-13. - Англ.

Определили стандартные энергии Гиббса образования твердого раствора MnO(насыщ.)-MnO*Cr₂O₃ при 1873 К: Mn(масс.% в Fe(ж)) + 2Cr(масс.% в Fe(ж)) + 2O₂(г) = MnO*Cr₂O₃ (MnOнасыщ.):

'ДЕЛЬТА'Cr_p=-755'+-'4 кДж (P[O₂])=2*10⁻⁶-6*10⁻⁵ Па); Mn(масс.% в Cu(ж)) + 2Cr(масс.% в Cu(ж)) + 2O₂(г) = MnO*Cr₂O₃ (MnOнасыщ.):

'ДЕЛЬТА'G_p=807'+-'7 кДж (P[O₂])=3*10⁻⁵-1,5*10⁻⁴ Па);

Mn(ж) + 2Cr(т) + 2O₂(г) = MnO*Cr₂O₃ (MnOнасыщ.):

'ДЕЛЬТА'G_p=-958'+-'8 кДж (P[O₂])=2*10⁻⁶-1,5*10⁻⁴ Па). Библ. 16.

Cr₂O₃

[Om. 42340]

2007

Fe Cr₂O₄

Ziemnicki S.E., Anovitz L.M., Castelli R.A.,

Zn Cr₂O₄

Porter W.D.

10

Co Cr₂O₄

J. Chem. Thermodyn., 2007, v. 39, N, 1474 —
— 1492

Thermodynamics of Cr₂O₃, Fe Cr₂O₄, Zn Cr₂O₄
and Co Cr₂O₄.

[C_p(Cr₂O₃) on 250 K do 1373 K]

$\text{Cr}_2\text{O}_3(\text{cr})$ Guzevich V.M., Kaiskov O.Z. ^{Ked7}
Tep.mesg. ssye Smirnova N.N., Garzicher K.S.
 C_p, S^0, H^0 "Thermodynamic functions
(0-1800K) of eskolate $\text{Cr}_2\text{O}_3(\text{cr})$ in the g
range 0-1800"

16-ая Мензг. конференция по химико-технологическим
исследованиям в России, Челябинск, 6-10 июня
2007

Abstracts., v. 1, p. 215-228

Cr_2O_3

[0н. 42 353]

Гуревич В.И., Кусаков О.Н., Смирнова Н.Н.,
Севрюков К.С. - рабочее сообщение

2009

„Терм. ф-ции эвкалипта $\text{Cr}_2\text{O}_3(\text{kp})$ 0-1800К“

$$T_F = 298.15 \text{ K}$$

$$\delta_{298} = 80,95 \pm 0,10 \text{ } \text{Дж} \cdot \text{К}^{-1}$$

$$H_{298} - H_0 = 15,299 \pm 0,012 \text{ } \text{Дж}$$

$$C_p = 121,53 \pm 0,19 \text{ } \text{Дж} \cdot \text{К}^{-1}$$

(81.1
± 0.2)
(15,300)
(120.08)

[K/K 42 353]



0,15